# TRANSFORMATIONS NATURELLES RELIANT FONCTEURS D'HOMOTOPIE ET D'HOMOLOGIE SINGULIÈRE

### BENJAMIN ENRIQUEZ ET FLORENCE LECOMTE

RÉSUMÉ. La catégorie des espaces topologiques avec deux points marqués est munie de deux familles  $\mathbf{F}_n$  et  $\mathbf{H}_n$ , indexées par un entier  $n\geqslant 0$ , de foncteurs vers la catégorie des groupes abéliens, la première associant à l'objet (X,x,y) le quotient de  $\mathbb{Z}\pi_1(X,x,y)$  par un sousgroupe abélien associé à la n+1-ième puissance de d'idéal d'augmentation de l'algèbre de groupe  $\mathbb{Z}\pi_1(X,x)$ , la seconde associant au même objet le n-ième groupe d'homologie singulière relative de  $X^n$  par rapport à un sous-espace défini en termes de diagonales partielles. Nous construisons une famille de transformations naturelles  $\nu_n: \mathbf{F}_n \to \mathbf{H}_n$ . Nous identifions la transformation naturelle obtenue par restriction de  $\nu_n$  à la sous-catégorie des variétés algébriques et tensorisation avec  $\mathbb Q$  avec l'équivalence naturelle due à Beilinson.

#### Table des matières

Introduction	2
1. Rappels	3
1.1. Espaces topologiques et homologie singulière	3
1.2. Paires d'espaces topologiques et (co)homologie singulière relative	3
2. Une identité en homologie relative	3
2.1. Matériel de base et résultat principal	4
2.2. Démonstration de (a) du théorème 2.3	5
2.3. Constructions combinatoires	5
2.3.1. Diagramme commutatif impliquant une involution de $\mathbb{Z}^n \times \mathfrak{S}_n \times \llbracket 0, n \rrbracket$	5
2.3.2. Constructions et résultats relatifs aux permutations	7
2.3.3. Diagramme commutatif impliquant les applications $(f, sgn)$ , $(\tilde{f}, \tilde{sgn})$ et bij	11
2.3.4. Battages et transpositions	12
2.3.5. La bijection bij	13
2.3.6. Diagramme commutatif impliquant $Aff(\Delta^{n-1}, \Delta^n) \times \{\pm 1\}$	17
2.4. Construction d'endomorphismes de groupes de chaînes	19
2.4.1. Morphismes dans une catégorie $\mathcal{C}$	19
2.4.2. Démonstration de $\operatorname{div}_n^k \circ \partial_{n-1,n} = \partial_{n-1,n} \circ \operatorname{div}_{n-1}^k$	20
2.4.3. Relation dans $C$ entre $\operatorname{div}_{\bullet}^{k}$ et $id_{\bullet}$	21
2.4.4. Endomorphismes de groupes de chaînes singulières	21
2.5. Démonstration de (b) du théorème 2.3	22
2.5.1. Composition de chemins	22
2.5.2. Calcul de $(\operatorname{div}_n^k)^*((\tilde{\gamma}_k * \cdots * \tilde{\gamma}_1)^{(n)})$	22
2.5.3. Une égalité dans $C_n(X^n)$	24
2.5.4. Démonstration de (b) du théorème 2.3	26
3. Lien avec l'isomorphisme de Beilinson	26
3.1. Rappels sur l'isomorphisme de Beilinson	27
3.2. Relation du théorème 2.3 avec l'isomorphisme de Beilinson	27
4. Construction de transformations naturelles	30
Bibliographie	31

Date: 3 janvier 2023.

#### Introduction

Pour X un espace topologique connexe et  $a, b \in X$ , on note  $\pi_1(a, b)$  l'ensemble des classes de chemins reliant a à b. Le  $\mathbb{Z}$ -module  $\mathbb{Z}\pi_1(a, b)$  est alors un module à droite sous l'action de l'algèbre du groupe  $\pi_1(a) := \pi_1(a, a)$ , et on définit, pour  $n \ge 0$ , le  $\mathbb{Z}$ -module  $\mathbf{F}_n(X, a, b)$  comme son quotient par le sous-module  $\mathbb{Z}\pi_1(a, b) \cdot (\mathbb{Z}\pi_1(a))^{n+1}_+$  engendré par l'action de la n + 1-ème puissance de l'idéal d'augmentation de l'algèbre de groupe de  $\pi_1(a)$ .

Si X est une variété différentiable connexe, ayant le type d'homotopie d'un CW-complexe fini, on dispose d'une interprétation cohomologique de  $\operatorname{Hom}_{\mathbb{Z}}(\mathbf{F}_n(X,a,b),\mathbb{Q})$ , sous la forme d'un isomorphisme de  $\mathbb{Q}$ -espaces vectoriels

(0.0.1) 
$$\operatorname{H}^{n}(X^{n}, Y_{ba}^{(n)}; \mathbb{Q}) \xrightarrow{\sim} \operatorname{Hom}_{\mathbb{Z}}(\mathbf{F}_{n}(X, a, b), \mathbb{Q}),$$

où  $Y_{ba}^{(n)}$  est la partie de  $X^n$  définie par

$$(0.0.2) Y_{ba}^{(n)} := \bigcup_{i=0}^{n} Y_{ba,i}^{(n)}$$

avec  $Y_{ba,i}^{(n)} = \{(x_1,\ldots,x_n) \in X^n | x_i = x_{i+1}\}$  avec  $x_0 = b$  et  $x_{n+1} = a$ , et  $H^{\bullet}(-,-;\mathbb{Q})$  désigne la cohomologie singulière relative à coefficients dans  $\mathbb{Q}$  (travail de Beilinson, rédigé dans [DG, BGFr]). La construction de cet isomorphisme repose sur des techniques faisceautiques : précisément, on construit un morphisme  ${}_b\tilde{\mathcal{K}}_a \to_b \mathcal{K}_a$  de complexes de faisceaux sur X et un isomorphisme  $iso_{\mathrm{BGF}}^{ba}: \mathbb{H}^n(X^n,_b\tilde{\mathcal{K}}_a\langle n\rangle) \to \mathbb{H}^n(X^n,Y_{ba}^{(n)};\mathbb{Q})$ , où  $\mathbb{H}(-,-)$  désigne l'hypercohomologie des complexes de faisceaux ([BGFr], lemme 3.281) ; (0.0.1) est alors construit comme une composition

$$\mathrm{H}^n(X^n,Y_{ba}^{(n)};\mathbb{Q}) \xrightarrow{(iso_{\mathrm{BGF}}^{ba})^{-1}} \mathrm{H}^n(X^n,_b\tilde{\mathcal{K}}_a\langle n\rangle) \to \mathrm{H}^n(X^n,_b\mathcal{K}_a\langle n\rangle) \to \mathrm{Hom}_\mathbb{Z}(\mathbf{F}_n(X,a,b),\mathbb{Q}).$$

La nature topologique de la source et du but de l'application (0.0.1) suggère la possibilité d'une construction topologique de cette application. Le but de ce travail est de fournir une telle construction, dans le cadre plus général où X est un espace topologique, et en travaillant sur  $\mathbb{Z}$ . Plus précisément, nous contruisons un morphisme de  $\mathbb{Z}$ -modules

$$\mathbf{F}_n(X, a, b) \to \mathbf{H}_n(X^n, Y_{ab}^{(n)}),$$

où  $H_n(-,-)$  est l'homologie singulière relative (à coefficients dans  $\mathbb{Z}$ ), cf. théorème 2.3. Nous montrons, dans le cas où X est une variété différentiable comme ci-dessus, la compatibilité de ce morphisme avec (0.0.1) et l'isomorphisme  $H_n(X^n, Y_{ab}^{(n)}) \to H_n(X^n, Y_{ba}^{(n)})$  induit par l'automorphisme de  $X^n$  donné par  $(x_1, \ldots, x_n) \mapsto (x_n, \ldots, x_1)$  (cf. proposition 3.1).

Ce travail est organisé comme suit : la section 1 contient des rappels sur l'homologie singulière ; la section principale est la section 2, qui a pour objectif la démonstration du théorème 2.3 ; la section 3 établit le lien de ce résultat avec l'isomorphisme (0.0.1) de Beilinson (proposition 3.1) ; en section 4, on étudie l'aspect fonctoriel de l'application construite dans le théorème 2.3.

#### .3

#### 1. Rappels

En section 1.1, on rappelle la construction de l'homologie singulière, et en section 1.2, celles de l'homologie et la cohomologie relatives.

1.1. Espaces topologiques et homologie singulière. On note Top la catégorie des espaces topologiques ; si X, Y sont deux espaces topologiques, on note ainsi  $\mathbf{Top}(X, Y)$  l'ensemble des applications continues  $X \to Y$ .

Pour  $n \geq 0$ , on note  $\Delta^n$  le simplexe donné par  $\Delta^n := \{(t_1, \ldots, t_n) \in \mathbb{R}^n | 0 \leq t_1 \leq \ldots \leq t_n \leq 1\}$ . Si X est un espace topologique, on pose  $C_n(X) := \mathbb{Z}\mathbf{Top}(\Delta^n, X)$  pour  $n \geq 0$ , ainsi que  $C_{-1}(X) = 0$ . Un sous-ensemble Y de X est naturellement muni de la topologie induite, on note  $Y_X$  (ou simplement Y s'il n'y a pas de risque de confusion) l'espace topologique correspondant. On a alors  $\mathbf{Top}(\Delta^n, Y_X) = \{f \in \mathbf{Top}(\Delta^n, X) | f(\Delta^n) \subset Y\}$  et  $C_n(Y_X) := \mathbb{Z}\mathbf{Top}(\Delta^n, Y_X) \subset C_n(X)$  pour  $n \geq 0$ .

Pour X un espace topologique et  $n \ge 0$ , on note  $\partial_{n,n-1}^* : C_n(X) \to C_{n-1}(X)$  la différentielle singulière. L'homologie du complexe  $(C_{\bullet}(X), \partial^*)$  est alors l'homologie singulière  $H_{\bullet}(X)$ .

On note  $\mathbf{AbGr}$  celle des groupes abéliens  $\mathbb{Z}$ -gradués. L'homologie singulière définit un foncteur  $\mathbf{H}_{\bullet}: \mathbf{Top} \to \mathbf{AbGr}$ .

1.2. Paires d'espaces topologiques et (co)homologie singulière relative. Si X est un espace topologique et Y est un sous-ensemble de X, alors  $(C_{\bullet}(Y_X), \partial^*)$  est un sous-complexe de  $(C_{\bullet}(X), \partial^*)$ , et l'homologie relative  $H_{\bullet}(X, Y)$  est l'homologie du complexe quotient

$$(C_{\bullet}(X)/C_{\bullet}(Y_X), \partial^*);$$

c'est un groupe abélien gradué. La cohomologie relative  $H^{\bullet}(X,Y)$  est celle du sous-complexe  $C_{\bullet}(Y_X)^{\perp}$  du complexe  $\operatorname{Hom}_{\mathbb{Z}}(C_{\bullet}(X),\mathbb{Z})$ , muni de la différentielle duale de  $\partial^*$ ; on dispose d'un couplage  $H_{\bullet}(X,Y) \otimes H^{\bullet}(X,Y) \to \mathbb{Z}$ . Alors  $H^{\bullet}(X,Y;\mathbb{Q}) = H^{\bullet}(X,Y) \otimes \mathbb{Q}$  est la cohomologie du sous-complexe  $C_{\bullet}(Y_X)^{\perp} \otimes \mathbb{Q}$  de  $\operatorname{Hom}_{\mathbb{Z}}(C_{\bullet}(X),\mathbb{Q})$ .

Soit **Paires** la catégorie des paires d'espaces topologiques. Les objets de **Paires** sont les couples (X,Y), avec X espace topologique et Y sous-ensemble de X. On a **Paires** $((A,B),(A',B')):=\{f\in \mathbf{Ens}(A,A')|f$  est continue et  $f(B)\subset B'\}$ . Alors  $(X,Y)\mapsto \mathrm{H}_{\bullet}(X,Y)$  définit un foncteur  $\mathrm{H}_{\bullet}:\mathbf{Paires}\to\mathbf{AbGr}$ . On note  $f_*$  le morphisme  $\mathrm{H}_{\bullet}(A,B)\to\mathrm{H}_{\bullet}(A',B')$  dans  $\mathbf{AbGr}$  associé à un morphisme  $f:(A,B)\to(A',B')$  dans  $\mathbf{Paires}$  (noté  $\mathrm{H}_{\bullet}(f)$  dans  $[\mathrm{Ha}]$ , pp. 108, 124).

L'application identité  $\mathrm{id}_{\Delta^n}$  définit un élément de  $C_n(\Delta^n)$ , dont l'image dans  $C_n(\Delta^n)/C_n(\partial \Delta^n)$  est un cycle pour le bord relatif, et définit donc un élément du groupe d'homologie relative  $[\mathrm{id}_{\Delta^n}] \in \mathrm{H}_n(\Delta^n, \partial \Delta^n)$ .

# 2. Une identité en homologie relative

Le but de cette section est la démonstration du théorème 2.3. Ce résultat est formulé en section 2.1, et sa première partie (théorème 2.3(a)) est démontrée en section 2.2. Le reste

de la section est consacré à la démonstration de sa deuxième partie (théorème 2.3(b)). La section 2.3 contient des résultats combinatoires, et la section 2.4 l'application de ses résultats à la construction d'endomorphismes  $\operatorname{div}_{\bullet}^k$  des complexes de chaînes singulières satisfaisant la relation d'homotopie (2.4.5). Cette relation est appliquée en section 2.5 à la démonstration du théorème 2.3(b).

2.1. Matériel de base et résultat principal. Dans la section 2.1, on fixe un espace topologique X, des éléments  $a, b \in X$ , et  $n \ge 1$ . On définit la partie  $Y_{ab}^{(n)} \subset X^n$  par (0.0.2). On note Chem(a,b) l'ensemble des applications continues  $\tilde{\gamma}:[0,1] \to X$  telles que  $\tilde{\gamma}(0)=a$  et  $\tilde{\gamma}(1)=b$ .

**Définition 2.1.** Pour  $\tilde{\gamma} \in \text{Chem}(a,b)$ , on note  $\tilde{\gamma}^{(n)} \in \text{Top}(\Delta^n, X^n)$  l'application composée  $\Delta^n \stackrel{\text{can}_n}{\longrightarrow} [0,1]^n \stackrel{\tilde{\gamma}^n}{\longrightarrow} X^n$  où  $\text{can}_n : \Delta^n \to [0,1]^n$  est l'injection canonique.

Lemme 2.2. 
$$\hat{\sigma}_{n,n-1}^*(\tilde{\gamma}^{(n)}) \in C_{n-1}(Y_{ab}^{(n)}).$$

 $\begin{array}{l} \textit{D\'{e}monstration.} \ \ \text{On a} \ \partial_{n,n-1}^*(\tilde{\gamma}^{(n)}) = \sum_{i=0}^n (-1)^i \tilde{\gamma}^{(n)} \circ \partial_i^n, \ \text{où pour } i \in \llbracket 0,n \rrbracket \ \text{l'application } \partial_i^n: \\ \Delta^{n-1} \to \Delta^n \ \text{est donn\'ee par } (t_1,\ldots,t_{n-1}) \mapsto (t_1,\ldots,t_i,t_i,\ldots,t_{n-1}) \ \text{(avec par convention } t_0 = 0, \\ t_n = 1). \ \ \text{On v\'erifie que } \tilde{\gamma}^{(n)} \circ \partial_i^n = \partial_i^{n,X} \circ \tilde{\gamma}^{(n-1)}, \ \text{avec } \partial_i^{n,X}: X^{n-1} \to X^n \ \text{l'application donn\'ee} \\ \text{par } (x_1,\ldots,x_{n-1}) \mapsto (x_1,\ldots,x_i,x_i,\ldots,x_{n-1}) \ \text{(avec par convention } x_0 = a, \ x_n = b), \ \text{donc} \\ \partial_{n,n-1}^*(\tilde{\gamma}^{(n)}) = \sum_{i=0}^n (-1)^i \partial_i^{n,X} \circ \tilde{\gamma}^{(n-1)}. \ \ \text{On a pour tout } i \in \llbracket 0,n \rrbracket \ \text{les relations } \partial_i^{n,X}(X^{n-1}) = Y_{ab,i}^{(n)} \subset Y_{ab}^{(n)} \ \text{qui impliquent la relation annonc\'ee.} \end{array}$ 

On rappelle que  $C_{\bullet}(Y_{ab}^{(n)})$  est un sous-complexe de  $C_{\bullet}(X^n)$ , et que l'homologie du complexe quotient  $C_{\bullet}(X^n)/C_{\bullet}(Y_{ab}^{(n)})$  est l'homologie relative  $H_{\bullet}(X^n, Y_{ab}^{(n)})$ .

Il suit du lemme 2.2 que la classe de  $\tilde{\gamma}^{(n)}$  dans  $C_n(X^n)/C_n(Y_{ab}^{(n)})$  est un cycle du complexe quotient, et définit donc une classe  $[\tilde{\gamma}^{(n)}] \in H_n(X^n, Y_{ab}^{(n)})$ . On note  $\pi_1(a, b)$  le quotient de Chem(a, b) par la relation d'équivalence donnée par l'homotopie entre deux chemins.

**Théorème 2.3.** (a) Il existe une unique application  $\pi_1(a,b) \to H_n(X^n,Y_{ab}^{(n)})$ ,  $\gamma \mapsto F_n(\gamma)$  telle que l'application  $\operatorname{Chem}(a,b) \to H_n(X^n,Y_{ab}^{(n)})$ ,  $\tilde{\gamma} \mapsto [\tilde{\gamma}^{(n)}]$  admette une factorisation  $\operatorname{Chem}(a,b) \to \pi_1(a,b) \to H_n(X^n,Y_{ab}^{(n)})$ . On a donc pour  $\tilde{\gamma} \in \operatorname{Chem}(a,b)$  et on notant  $\tilde{\gamma} \to [\tilde{\gamma}]$  l'application canonique  $\operatorname{Chem}(a,b) \to \pi_1(a,b)$ ,

$$[\tilde{\gamma}^{(n)}] = F_n([\tilde{\gamma}]).$$

(b) Pour  $\alpha_0, \ldots, \alpha_n \in \pi_1(a)$ , et  $I \subset [[0,n]]$ , on pose  $\prod_{i \in I} \alpha_i$  le produit  $\alpha_{i(1)} \cdots \alpha_{i(|I|)}$ , où i est l'unique bijection croissante  $[[1,|I|]] \to I$ . Alors

$$\sum_{I \subset \llbracket 0,n \rrbracket} (-1)^{|I|} F_n(\gamma \cdot \prod_{i \in I} \alpha_i) = 0$$

(égalité dans  $H_n(X^n, Y_{ab}^{(n)})$ ). On a donc factorisation de  $F_n$  en une application linéaire

$$\overline{F}_{ab}^{(n)}: \mathbb{Z}\pi_1(a,b)/(\mathbb{Z}\pi_1(a,b)(\mathbb{Z}\pi_1(a))_+^{n+1}) \to H_n(X^n, Y_{ab}^{(n)}),$$

 $où (\mathbb{Z}\pi_1(a))_+$  est l'idéal d'augmentation de  $\mathbb{Z}\pi_1(a)$ .

# 2.2. Démonstration de (a) du théorème 2.3.

**Lemme 2.4.** (a) Pour  $\tilde{\gamma} \in \text{Chem}(a,b)$ ,  $\tilde{\gamma}^{(n)}$  induit un morphisme

$$\tilde{\gamma}^{(n),\mathbf{Paires}}: (\Delta^n,\partial\Delta^n) \to (X^n,Y_{ab}^{(n)})$$

dans Paires.

(b) Pour 
$$\tilde{\gamma} \in \text{Chem}(a, b)$$
, on  $a\left[\tilde{\gamma}^{(n)}\right] = (\tilde{\gamma}^{(n)}, \text{Paires})_*([\text{id}_{\Delta^n}]) \in H_n(X^n, Y_{ab}^{(n)}).$ 

Démonstration. (a) suit de la démonstration du lemme 2.2. (b) suit de ce que l'élément  $\tilde{\gamma}^{(n)} \in C_n(X^n)$  est l'image par le morphisme  $\Delta^n \to X^n$  dans **Top** induit par  $\tilde{\gamma}^{(n)}$  de  $\mathrm{id}_{\Delta^n} \in C_n(\Delta^n)$ .

Le théorème 2.3,(a) suit alors du lemme suivant :

**Lemme 2.5.** L'application Chem $(\underline{X}) \to H_n(X^n, Y_{ab}^{(n)}), \ \tilde{\gamma} \mapsto [\tilde{\gamma}^{(n)}]$  est invariante par homotopie.

Démonstration. Soit  $\tilde{\gamma}, \tilde{\gamma}' \in \text{Chem}(\underline{X})$ . Une homotopie entre  $\tilde{\gamma}$  et  $\tilde{\gamma}'$  produit une homotopie entre les morphismes de paires  $(\Delta^n, \partial \Delta^n) \to (X^n, Y_{ab}^{(n)})$  donnés par  $\tilde{\gamma}^{(n), \mathbf{Paires}}$  et  $(\tilde{\gamma}')^{(n), \mathbf{Paires}}$ . Par l'invariance homotopique de l'homologie relative (Proposition 13.14 dans [GrH]), les morphismes associés  $H_n(\Delta^n, \partial \Delta^n) \to H_n(X^n, Y_{ab}^{(n)})$  induits en homologie, à savoir  $H_n(\tilde{\gamma}^{(n), \mathbf{Paires}})$  et  $H_n((\tilde{\gamma}')^{(n), \mathbf{Paires}})$  sont égaux. Les images qu'ils donnent à  $[\mathrm{id}_{\Delta^n}]$  sont donc égales, et le lemme 2.4(b) implique alors  $[\tilde{\gamma}^{(n)}] = [\tilde{\gamma}'^{(n)}]$ .

- 2.3. Constructions combinatoires. Le but de cette sous-section est la construction, pour tout couple (n,k) avec  $n,k\geqslant 1$ : (a) d'un ensemble  $\mathbf{Aff}(\mathbb{R}^{n-1},\mathbb{R}^n)$ , d'une application  $(\underline{f},\operatorname{sgn})$ :  $\mathbb{Z}^n\times\mathfrak{S}_n\times[\![0,n]\!]\to\mathbf{Aff}(\mathbb{R}^{n-1},\mathbb{R}^{n-1})\times\{\pm 1\}$  et d'une involution invol de  $\mathbb{Z}^n\times\mathfrak{S}_n\times[\![0,n]\!]$ , telle que le diagramme (2.3.1) commute ; (b) d'applications  $(\underline{\tilde{f}},\operatorname{sgn}):\mathbb{Z}^{n-1}\times\mathfrak{S}_{n-1}\times[\![0,n]\!]\to\mathbf{Aff}(\mathbb{R}^{n-1},\mathbb{R}^{n-1})\times\{\pm 1\}$  et  $\underline{\operatorname{bij}}:\mathbb{Z}^{n-1}\times\mathfrak{S}_{n-1}\times[\![0,n]\!]\to\mathbb{Z}^n\times\mathfrak{S}_n\times[\![0,n]\!]$  telles que le diagramme (2.3.17) commute (c) d'un sous-ensemble  $\operatorname{Ens}_n^k\subset\mathbb{Z}^n\times\mathfrak{S}_n$  et d'une bijection bij :  $\operatorname{Ens}_{n-1}^k\times[\![0,n]\!]\to\{x\in\operatorname{Ens}_n^k\times[\![0,n]\!]|\operatorname{invol}(x)\notin\operatorname{Ens}_n^k\times[\![0,n]\!]\}$ , telle que le diagramme (2.3.19) commute (d) d'un sous-ensemble  $\operatorname{Aff}(\Delta^{n-1},\Delta^n)$  de  $\operatorname{Aff}(\mathbb{R}^{n-1},\mathbb{R}^n)$  et la construction d'applications  $f:\operatorname{Ens}_n^k\times[\![0,n]\!]\to\operatorname{Aff}(\Delta^{n-1},\Delta^n)$  et  $\tilde{f}:\operatorname{Ens}_{n-1}^k\times[\![0,n]\!]\to\operatorname{Aff}(\Delta^{n-1},\Delta^n)$  telle que le diagramme (2.3.22) commute.
- 2.3.1. Diagramme commutatif impliquant une involution de  $\mathbb{Z}^n \times \mathfrak{S}_n \times [\![0,n]\!]$ . On note **Aff** la catégorie des espaces affines, dont les morphismes sont les applications affines.

Pour  $n \neq 0$ , on note  $(e_1^n, \dots, e_n^n)$  la base canonique de  $\mathbb{R}^n$  et pour  $i \in \llbracket [0, n \rrbracket]$ , on pose  $E_i^n := e_n^n + e_{n-1}^n + \dots + e_{n-i+1}^n \in \mathbb{R}^n$  (on a en particulier  $E_0^n = 0$ ).

**Définition 2.6.** Soit  $n, m \ge 0$ . Pour  $P_0, \dots, P_n \in \mathbb{R}^m$ , on note  $[\underline{P_0, \dots, P_n}] \in \mathbf{Aff}(\mathbb{R}^n, \mathbb{R}^m)$  l'unique application affine  $\mathbb{R}^n \to \mathbb{R}^m$  telle que  $E_i^n \mapsto P_i$  pour  $i = 0, \dots, n$ .

**Définition 2.7.** Pour  $i \in [0, n]$ , on pose  $\underline{\hat{c}}_i^n := [E_0^n, \dots, E_{n-i-1}^n, E_{n-i+1}^n, \dots, E_n^n] \in \mathbf{Aff}(\mathbb{R}^{n-1}, \mathbb{R}^n)$ .

Soit  $\mathfrak{S}_n$  le groupe des permutations de  $[\![1,n]\!]$ . Pour  $\sigma \in \mathfrak{S}_n$ , on note  $\sigma^*$  la permutation de  $\mathbb{R}^n$  donnée par  $\sigma^*(t_1,\ldots,t_n):=(t_{\sigma(1)},\ldots,t_{\sigma(n)})$ . On a alors  $\sigma^*(e_i^n)=e_{\sigma^{-1}(i)}^n$ , et  $(\sigma\tau)^*=\tau^*\circ\sigma^*$  pour  $\sigma,\tau\in\mathfrak{S}_n$ .

**Définition 2.8.** Pour  $(v, \sigma) \in \mathbb{Z}^n \times \mathfrak{S}_n$ , on définit  $\underline{c}_k(v, \sigma) \in \mathbf{Aff}(\mathbb{R}^n, \mathbb{R}^n)$  comme l'application de  $\mathbb{R}^n$  dans lui-même donnée par  $x \mapsto (1/k)(v + \sigma^*(x))$ .

On a alors  $\underline{c}_k(v,\sigma) = [(1/k)(v + \sigma^* E_0^n), \dots, (1/k)(v + \sigma^* E_n^n)]$  pour  $(v,\sigma) \in \mathbb{Z}^n \times \mathfrak{S}_n$ .

Définition 2.9. On note

$$\underline{f}: \mathbb{Z}^n \times \mathfrak{S}_n \times \llbracket [0, n \rrbracket] \to \mathbf{Aff}(\mathbb{R}^{n-1}, \mathbb{R}^n) \quad \text{et} \quad \mathrm{sgn}: \mathbb{Z}^n \times \mathfrak{S}_n \times \llbracket [0, n \rrbracket] \to \{\pm 1\}$$

les applications données par

$$f(v,\sigma,i) := \underline{c}_k(v,\sigma) \circ \underline{\partial}_i^n, \quad \operatorname{sgn}(v,\sigma,i) := (-1)^i \epsilon(\sigma).$$

**Définition 2.10.** On note invol l'application de  $\mathbb{Z}^n \times \mathfrak{S}_n \times [0, n]$  dans lui-même donnée par

$$\operatorname{invol}(v, \sigma, i) := (v, s_{i,i+1} \circ \sigma, i) \quad \text{pour} \quad (v, \sigma, i) \in \mathbb{Z}^n \times \mathfrak{S}_n \times [1, n-1],$$

où  $s_{i,i+1} \in \mathfrak{S}_n$  est la permutation de i et i+1,

$$\operatorname{invol}(v,\sigma,n) := (v + \sigma^*(e_n^n), c \circ \sigma, 0) \quad \text{pour} \quad (v,\sigma) \in \mathbb{Z}^n \times \mathfrak{S}_n,$$

où  $c \in \mathfrak{S}_n$  est le n-cycle donné par c(i) := i + 1 pour  $i \neq n, c(n) = 1$ , et

$$\operatorname{invol}(v, \sigma, 0) := (v - \sigma^*(e_1^n), c^{-1} \circ \sigma, n) \quad \text{pour} \quad (v, \sigma) \in \mathbb{Z}^n \times \mathfrak{S}_n.$$

**Lemme 2.11.** (a) invol est une involution de  $\mathbb{Z}^n \times \mathfrak{S}_n \times [0, n]$ .

(b) Le diagramme suivant commute

$$(2.3.1) \qquad \mathbb{Z}^{n} \times \mathfrak{S}_{n} \times \llbracket 0, n \rrbracket \xrightarrow{\text{invol}} \mathbb{Z}^{n} \times \mathfrak{S}_{n} \times \llbracket 0, n \rrbracket$$

$$(\underline{f}, \operatorname{sgn}) \xrightarrow{(\underline{f}, -\operatorname{sgn})} \times \{\pm 1\}$$

 $D\acute{e}monstration. \ (a) \ \mathrm{Soit} \ (v,\sigma,i) \in \mathbb{Z}^n \times \mathfrak{S}_n \times \llbracket [0,n \rrbracket]. \ \mathrm{Si} \ i \neq 0, n, \ \mathrm{alors} \ s_{i,i+1}^2 = id \ \mathrm{implique} \\ \mathrm{invol} \circ \mathrm{invol}(v,\sigma,i) = (v,\sigma,i). \ \mathrm{Si} \ i = n, \ \mathrm{alors} \ \mathrm{invol} \circ \mathrm{invol}(v,\sigma,n) = \mathrm{invol}(v+\sigma^*(e_n^n),c\circ\sigma,0) = \\ (v+\sigma^*(e_n^n)-(c\circ\sigma)^*(e_1^n),c^{-1}\circ c\circ\sigma,n) = (v,\sigma,n) \ \mathrm{car} \ (c\circ\sigma)^*(e_1^n) = \sigma^*\circ c^*(e_1^n) = \sigma^*(e_n^n) \ \mathrm{et} \ \mathrm{si} \\ i = 0, \ \mathrm{on} \ \mathrm{a} \ \mathrm{invol} \circ \mathrm{invol}(v,\sigma,0) = \mathrm{invol}(v-\sigma^*(e_1^n),c^{-1}\circ\sigma,n) = (v-\sigma^*(e_1^n)+(c^{-1}\circ\sigma)^*(e_n^n),c\circ\sigma) \\ c^{-1}\circ\sigma,0) = (v,\sigma,0) \ \mathrm{car} \ (c^{-1}\circ\sigma)^*(e_n^n) = \sigma^*\circ (c^{-1})^*(e_n^n) = \sigma^*(e_1^n). \ \mathrm{On} \ \mathrm{a} \ \mathrm{donc} \ \mathrm{dans} \ \mathrm{tous} \ \mathrm{les} \\ \mathrm{cas} \ \mathrm{invol} \circ \mathrm{invol}(v,\sigma,i) = (v,\sigma,i). \\ \end{cases}$ 

(b) Soit  $(v, \sigma, i) \in \mathbb{Z}^n \times \mathfrak{S}_n \times \llbracket 0, n \rrbracket$ .

Si  $i \neq 0, n$ , alors  $\operatorname{sgn} \circ \operatorname{invol}(v, \sigma, i) = -\operatorname{sgn}(v, \sigma, i)$  du fait de  $\epsilon(s_{i,i+1}) = -1$ . Si i = n, alors  $\operatorname{sgn} \circ \operatorname{invol}(v, \sigma, n) = \operatorname{sgn}(v + \sigma^*(e_1^n), c^{-1} \circ \sigma, 0) = (-1)^n \epsilon(c^{-1} \circ \sigma) = -(-1)^0 \epsilon(\sigma) = -(-1)^n \epsilon(c^{-1} \circ \sigma)$ 

 $-\operatorname{sgn}(v,\sigma,n)$  du fait de  $\epsilon(c)=(-1)^{n-1}$  et  $\operatorname{sgn}\circ\operatorname{invol}(v,\sigma,0)=\operatorname{sgn}(v-\sigma^*(e_n^n),c\circ\sigma,n)=$  $(-1)^0 \epsilon(c \circ \sigma) = -(-1)^n \epsilon(\sigma) = -\operatorname{sgn}(v, \sigma, 0)$  pour la même raison. On a donc dans tous les cas  $\operatorname{sgn} \circ \operatorname{invol}(v, \sigma, i) = -\operatorname{sgn}(v, \sigma, i).$ 

Si  $i \neq 0, n$ , alors

$$\underline{f} \circ \operatorname{invol}(v, \sigma, i) = \underline{f}(v, s_{i,i+1} \circ \sigma, i) = [\underline{(v + (s_{i,i+1} \circ \sigma)^*(E_0^n)/k, \dots, (v + (s_{i,i+1} \circ \sigma)^*(E_n^n)/k]} \\
\circ [\underline{E_0^n, \dots, E_{n-i-1}^n, E_{n-i+1}^n, \dots, E_n^n}] = [\underline{(v + (s_{i,i+1} \circ \sigma)^*(E_0^n)/k, \dots, (v + (s_{i,i+1} \circ \sigma)^*(E_{n-i-1}^n)/k, \dots, (v + (s_{i,i+1} \circ \sigma)^*(E_{n-i-1}^n)/k, \dots, (v + (s_{i,i+1} \circ \sigma)^*(E_n^n)/k]} \\
\underline{(v + (s_{i,i+1} \circ \sigma)^*(E_{n-i+1}^n)/k, \dots, (v + (s_{i,i+1} \circ \sigma)^*(E_n^n)/k]}] = \underline{f}(v, \sigma, i)$$

en utilisant  $(\sigma \cdot \tau)^* = \tau^* \circ \sigma^*$  et  $s_{i,i+1}^*(E_i^n) = E_i^n$  pour  $j \in [0,n]$  et  $j \neq n-i$ .

Si i = n, alors

$$\underline{f} \circ \operatorname{invol}(v, \sigma, n) = \underline{f}(v + \sigma^*(e_n^n), c \circ \sigma, 0) 
= [\underline{(v + \sigma^*(e_n^n) + (c \circ \sigma)^*(E_0^n))/k, \dots, (v + \sigma^*(e_n^n) + (c \circ \sigma)^*(E_n^n))/k}] \circ [\underline{E_0^n, \dots, E_{n-1}^n}] 
= [\underline{(v + \sigma^*(e_n^n) + (c \circ \sigma)^*(E_0^n))/k, \dots, (v + \sigma^*(e_n^n) + (c \circ \sigma)^*(E_{n-1}^n))/k}] 
= [\underline{(v + \sigma^*(e_n^n + c^*(E_0^n)))/k, \dots, (v + \sigma^*(e_n^n + c^*(E_{n-1}^n)))/k}] 
= [\underline{(v + \sigma^*(E_1^n))/k, \dots, (v + \sigma^*(E_n^n))/k}] 
= [\underline{(v + \sigma^*(E_0^n))/k, \dots, (v + \sigma^*(E_n^n))/k}] \circ [E_1^n, \dots, E_n^n] = f(v, \sigma, n)$$

du fait de  $c^*(E_i^n) + e_n^n = E_{i+1}^n$  pour  $i \in [0, n-1]$ .

Si i=0, alors

$$\begin{split} &\underline{f} \circ \operatorname{invol}(v, \sigma, 0) = \underline{f}(v - \sigma^*(e_1^n), c^{-1} \circ \sigma, n) \\ &= \left[ (v - \sigma^*(e_1^n) + (c^{-1} \circ \sigma)^*(E_0^n)) / k, \dots, (v - \sigma^*(e_1^n) + (c^{-1} \circ \sigma)^*(E_n^n)) / k \right] \circ \left[ \underline{E}_1^n, \dots, \underline{E}_n^n \right] \\ &= \left[ (v - \sigma^*(e_1^n) + (c^{-1} \circ \sigma)^*(E_1^n)) / k, \dots, (v - \sigma^*(e_1^n) + (c^{-1} \circ \sigma)^*(E_n^n)) / k \right] \\ &= \left[ (v + \sigma^*(-e_1^n + (c^{-1})^*(E_1^n))) / k, \dots, (v + \sigma^*(-e_1^n + (c^{-1})^*(E_n^n))) / k \right] \\ &= \left[ (v + \sigma^*(E_0^n)) / k, \dots, (v + \sigma^*(E_{n-1}^n)) / k \right] \\ &= \left[ (v + \sigma^*(E_0^n)) / k, \dots, (v + \sigma^*(E_n^n)) / k \right] \circ \left[ E_0^n, \dots, E_{n-1}^n \right] = f(v, \sigma, 0) \end{split}$$

du fait de  $(c^{-1})^*(E_i^n) - e_1^n = E_{i-1}^n$  pour  $i \in [1, n]$ . On a donc dans tous les cas  $f \circ \text{invol}(v, \sigma, i) =$  $f(v, \sigma, i)$ . 

Remarque 2.12. On vérifie directement que invol est sans point fixe; cela résulte aussi de  $sgn \circ invol = -sgn$  et du fait que  $\{\pm 1\}$  n'a pas de point fixe sous le changement de signe.

2.3.2. Constructions et résultats relatifs aux permutations.

**Lemme 2.13.** Soit  $\tau \in \mathfrak{S}_{n-1}$ . Pour  $i \in [1, n-1]$ , soit  $\mathbf{inv}(\tau, i) := \{j \in [1, n-1] | (j-i)(\tau(j) - 1)\}$  $\tau(i)$  < 0}. Alors  $|\mathbf{inv}(\tau, i)| \equiv \tau(i) - i \pmod{2}$ .

Démonstration. Montrons l'énoncé par récurrence sur i. Si i=1,  $\mathbf{inv}(\tau,1)=\{j\in \llbracket 1,n-1\rrbracket | \tau(j)<\tau(1)\}=\tau^{-1}(\llbracket 1,\tau(1)-1\rrbracket)$ , donc  $|\mathbf{inv}(\tau,1)|=|\tau^{-1}(\llbracket 1,\tau(1)-1\rrbracket)|=|\llbracket 1,\tau(1)-1\rrbracket|=|\tau(1)-1$  où la deuxième égalité suit de la bijectivité de  $\tau$ , ce qui implique l'énoncé pour i=1. Soit  $1\leqslant i< n-1$ : supposons l'énoncé vrai pour i et montrons-le pour i+1. Pour cela, on note  $\mathbf{A}_0:=\{j|j< i \text{ et }\tau(j)>\tau(i)\}$ ,  $\mathbf{A}_1:=\{j|j< i \text{ et }\tau(j)>\tau(i+1)\}$ ,  $\mathbf{B}_0:=\{j|j>i+1 \text{ et }\tau(j)<\tau(i)\}$ ,  $\mathbf{B}_1:=\{j|j>i+1 \text{ et }\tau(j)<\tau(i+1)\}$ ; on observe que  $\mathbf{A}_\alpha\cap\mathbf{B}_\beta=\varnothing$  pour tous  $\alpha,\beta\in\{0,1\}$ .

Deux cas se présentent :

• on a  $\tau(i) < \tau(i+1)$ . On a alors  $i+1 \notin \mathbf{inv}(\tau,i)$  et  $i \notin \mathbf{inv}(\tau,i+1)$ , ce qui implique  $\mathbf{inv}(\tau,i) = \mathbf{A}_0 \cup \mathbf{B}_0$  et  $\mathbf{inv}(\tau,i+1) = \mathbf{A}_1 \cup \mathbf{B}_1$ . En notant  $\triangle$  l'opération de différence symétrique, on obtient

(2.3.2) 
$$\operatorname{inv}(\tau, i) \triangle \operatorname{inv}(\tau, i+1) = (\mathbf{A}_0 \triangle \mathbf{A}_1) \cup (\mathbf{B}_0 \triangle \mathbf{B}_1),$$

compte tenu de  $(X_0 \cup Y_0) \triangle (X_1 \cup Y_1) = (X_0 \triangle X_1) \cup (Y_0 \triangle Y_1)$  pour tous ensembles  $X_0, X_1, Y_0, Y_1$  tels que  $X_{\alpha} \cap Y_{\beta} = \emptyset$ . Du fait que  $\tau(i) < \tau(i+1)$ , on a  $\mathbf{A}_1 \subset \mathbf{A}_0$  et  $\mathbf{B}_1 \supset \mathbf{B}_0$ , ce qui implique

$$(\mathbf{A}_0 \triangle \mathbf{A}_1) \cup (\mathbf{B}_0 \triangle \mathbf{B}_1) = (\mathbf{A}_0 - \mathbf{A}_1) \cup (\mathbf{B}_1 - \mathbf{B}_0).$$

Alors

$$\mathbf{A}_0 - \mathbf{A}_1 = \tau^{-1}(\llbracket \tau(i) + 1, \tau(i+1) \rrbracket) \cap \{j | j < i\}, \quad \mathbf{B}_1 - \mathbf{B}_0 = \tau^{-1}(\llbracket \tau(i), \tau(i+1) - 1 \rrbracket) \cap \{j | j > i+1\}.$$

Comme  $\tau(i+1) \notin \tau(\{j|j < i\})$  et  $\tau(i) \notin \tau(\{j|j > i+1\})$  on en déduit

$$\mathbf{A}_0 - \mathbf{A}_1 = \tau^{-1}(\llbracket \tau(i) + 1, \tau(i+1) - 1 \rrbracket) \cap \{j | j < i\}, \quad \mathbf{B}_1 - \mathbf{B}_0 = \tau^{-1}(\llbracket \tau(i) + 1, \tau(i+1) - 1 \rrbracket) \cap \{j | j > i+1\},$$

donc  $(\mathbf{A}_0 - \mathbf{A}_1) \cup (\mathbf{B}_1 - \mathbf{B}_0) = \tau^{-1}([\![\tau(i) + 1, \tau(i+1) - 1]\!]) \cap \{j | j \neq i, i+1\}$ . Compte tenu de  $\{i, i+1\} \cap \tau^{-1}([\![\tau(i) + 1, \tau(i+1) - 1]\!]) = \emptyset$ , on en déduit

$$(\mathbf{A}_0 - \mathbf{A}_1) \cup (\mathbf{B}_1 - \mathbf{B}_0) = \tau^{-1}(\llbracket \tau(i) + 1, \tau(i+1) - 1 \rrbracket).$$

Alors

$$|\mathbf{inv}(\tau,i+1)| - |\mathbf{inv}(\tau,i)| \equiv |\mathbf{inv}(\tau,i) \triangle \mathbf{inv}(\tau,i+1)| = |(\mathbf{A}_0 - \mathbf{A}_1) \cup (\mathbf{B}_1 - \mathbf{B}_0)|$$

$$(2.3.5) = |\tau^{-1}(\llbracket\tau(i) + 1, \tau(i+1) - 1\rrbracket)| = |\llbracket\tau(i) + 1, \tau(i+1) - 1\rrbracket| = \tau(i+1) - \tau(i) - 1$$

mod 2, où la première égalité suit de

(2.3.6) 
$$|A\triangle B| \equiv |B| - |A| \mod 2$$
 pour  $A, B$  ensembles finis,

la deuxième égalité suit de la combinaison de (2.3.2) et (2.3.3), la troisième égalité suit de (2.3.4), la quatrième égalité suit de la bijectivité de  $\tau$ ;

• on a  $\tau(i+1) < \tau(i)$ . On a alors  $\mathbf{A}_1 \supset \mathbf{A}_0$  et  $\mathbf{B}_1 \subset \mathbf{B}_0$ , ce qui implique

$$(\mathbf{A}_0 \triangle \mathbf{A}_1) \cup (\mathbf{B}_0 \triangle \mathbf{B}_1) = (\mathbf{A}_1 - \mathbf{A}_0) \cup (\mathbf{B}_0 - \mathbf{B}_1).$$

Alors

$$\mathbf{A}_{1} - \mathbf{A}_{0} = \tau^{-1}(\llbracket \tau(i+1) + 1, \tau(i) \rrbracket) \cap \{j | j < i\}, \quad \mathbf{B}_{0} - \mathbf{B}_{1} = \tau^{-1}(\llbracket \tau(i+1), \tau(i) - 1 \rrbracket) \cap \{j | j > i+1\}.$$

Or 
$$\tau(i) \notin \tau(\{j|j < i\}), \ \tau(i+1) \notin \tau(\{j|j > i+1\}), \ donc$$

$$\mathbf{A}_1 - \mathbf{A}_0 = \tau^{-1}(\llbracket \tau(i+1) + 1, \tau(i) - 1 \rrbracket) \cap \{j | j < i\}, \quad \mathbf{B}_0 - \mathbf{B}_1 = \tau^{-1}(\llbracket \tau(i+1) + 1, \tau(i) - 1 \rrbracket) \cap \{j | j > i + 1\}.$$

Donc  $(\mathbf{A}_1 - \mathbf{A}_0) \cup (\mathbf{B}_0 - \mathbf{B}_1) = \tau^{-1}([\tau(i+1) + 1, \tau(i) - 1]) \cap \{j | j \neq i, i+1\}$ . Compte tenu de  $\{i, i+1\} \cap \tau^{-1}([\![\tau(i+1)+1, \tau(i)-1]\!]) = \emptyset$ , on en déduit

(2.3.8) 
$$(\mathbf{A}_1 - \mathbf{A}_0) \cup (\mathbf{B}_0 - \mathbf{B}_1) = \tau^{-1}(\llbracket \tau(i+1) + 1, \tau(i) - 1 \rrbracket).$$

De plus, comme  $\tau(i+1) < \tau(i)$ , on a  $\mathbf{inv}(\tau,i) = \mathbf{A}_0 \cup \mathbf{B}_0 \cup \{i+1\} \text{ et } \mathbf{inv}(\tau,i+1) = \mathbf{A}_1 \cup \mathbf{B}_1 \cup \{i\}$ . On a  $i \notin \mathbf{inv}(\tau, i)$  et  $i + 1 \notin \mathbf{inv}(\tau, i + 1)$ , donc

$$(2.3.9) \quad \mathbf{inv}(\tau, i) \triangle \mathbf{inv}(\tau, i+1) = ((\mathbf{A}_0 \cup \mathbf{B}_0) \triangle (\mathbf{A}_1 \cup \mathbf{B}_1)) \cup \{i, i+1\}.$$

Alors

$$|\mathbf{inv}(\tau, i)| - |\mathbf{inv}(\tau, i + 1)| \equiv |\mathbf{inv}(\tau, i) \triangle \mathbf{inv}(\tau, i + 1)| = |(\mathbf{A}_0 \cup \mathbf{B}_0) \triangle (\mathbf{A}_1 \cup \mathbf{B}_1)| - 2$$
(2.3.10)

$$\equiv |(\mathbf{A}_0 \cup \mathbf{B}_0) \triangle (\mathbf{A}_1 \cup \mathbf{B}_1)| = |\tau^{-1}([\tau(i+1) + 1, \tau(i) - 1])| = |[\tau(i+1) + 1, \tau(i) - 1]| = \tau(i) - \tau(i+1) - 1.$$

où la première égalité suit de (2.3.6) et  $x \equiv -x \mod 2$ , la deuxième égalité suit de (2.3.9)combiné à  $\{i, i+1\} \cap ((\mathbf{A}_0 \cup \mathbf{B}_0) \triangle (\mathbf{A}_1 \cup \mathbf{B}_1)) \subset \{i, i+1\} \cap \{j | j \neq i, i+1\} = \emptyset$ , la quatrième égalité suit de la combinaison de (2.3.2) et (2.3.7), la cinquième égalité suit de la bijectivité de  $\tau$ .

On déduit des égalités (2.3.5) dans le premier cas et (2.3.10) dans le second l'égalité |inv(i + inv)| $|1| - \tau(i+1) + i + 1 \equiv |\mathbf{inv}(i)| - \tau(i) + i \mod 2$ . On a  $|\mathbf{inv}(\tau, i)| - \tau(i) + i \equiv 0 \mod 2$  d'après l'hypothèse de récurrence, ce qui implique  $|\mathbf{inv}(\tau,i+1)| - \tau(i+1) + i + 1 \equiv 0 \mod 2$ . 

### **Définition 2.14.** Soit $i \in [1, n-1]$ .

- (a) On note  $p_i: [1,n] \to [1,n-1]$  l'application donnée par  $p_i(x)=x$  si  $x \le i$  et  $p_i(x)=x-1$  $si x \ge i + 1.$
- (b) On note st<sub>i</sub> :  $[1, n-1] \rightarrow [1, n]$  l'application donnée par  $x \mapsto x$  si  $x \le i$  et  $x \mapsto x+1$  si  $x \geqslant i + 1$ .

**Lemme-Définition 2.15.** Soit  $\tau \in \mathfrak{S}_{n-1}$  et  $i \in [0, n]$ . Il existe un unique élément  $\tau^{(i)} \in \mathfrak{S}_n$ satisfaisant les conditions suivantes :

(a) 
$$p_{\tau(i)} \circ \tau^{(i)} = \tau \circ p_i$$
 et  $\tau^{(i)}(i) = \tau(i)$ ,  $\tau^{(i)}(i+1) = \tau(i) + 1$  si  $i \neq 0, n$ ;

(b) 
$$\tau^{(0)}(1) = 1$$
 et  $\tau^{(0)}(x) = \tau(x-1) + 1$  pour tout  $x \in [\![2,n]\!]$  si  $i=0$ ;

(c) 
$$\tau^{(n)}(n) = n$$
 et  $\tau^{(n)}(x) = \tau(x)$  pour tout  $x \in [[1, n-1]]$  si  $i = n$ .

Démonstration. (a) Pour  $j \in [0, n]$ , st<sub>j</sub>  $\circ p_j$  est l'application de [1, n] dans lui-même telle que  $x \mapsto x$  pour  $x \neq j+1$  et  $j+1 \mapsto j$ . Si  $\tau^{(i)}$  est une application de [1,n] dans lui-même satisfaisant les conditions dites, on a alors  $\operatorname{st}_{\tau(i)} \circ \circ p_{\tau(i)} \circ \tau^{(i)} = \operatorname{st}_{\tau(i)} \circ \tau \circ p_i$  ce qui implique  $\tau^{(i)}(x) = \operatorname{st}_{\tau(i)} \circ \tau \circ p_i(x)$  pour tout  $x \neq i, i+1$  ainsi que  $\tau^{(i)}(i) = \tau(i), \tau^{(i)}(i+1) = \tau(i)+1$ . Les conditions dites déterminent donc uniquement  $\tau^{(i)}$  comme application de [1, n] dans lui-même.

On vérifie alors que  $\tau^{(i)} \in \mathfrak{S}_n$ . (b,c) Pour i = 0, n, l'application  $\tau^{(i)}$  est la juxtaposition de deux permutations, donc est une permutation.

**Lemme 2.16.** Si  $\tau \in \mathfrak{S}_{n-1}$  et  $i \in [[1, n-1]]$ , alors  $\epsilon(\tau^{(i)}) = \epsilon(\tau)(-1)^{\tau(i)-i}$ .

Démonstration. Si  $p \ge 1$  et  $\sigma \in \mathfrak{S}_p$ , notons  $\mathbf{inv}(\sigma) := \{(a,b) \in [[1,p]]^2 | a < b \text{ et } \sigma(a) > \sigma(b) \}$ . On a alors

(2.3.11) 
$$\epsilon(\sigma) = (-1)^{|\mathbf{inv}(\sigma)|}.$$

Si  $\tau \in \mathfrak{S}_{n-1}$  et  $i \in [[1, n-1]]$ , on a une partition

$$\mathbf{inv}(\tau) = A \sqcup B,$$

avec  $A := \{(a,b) \in \mathbf{inv}(\tau) | a \neq i \text{ et } b \neq i\}$  et  $B := \{(a,b) \in \mathbf{inv}(\tau) | a = i \text{ ou } b = i\}$ . On a de même une partition

$$(2.3.13) \qquad \mathbf{inv}(\tau^{(i)}) = A' \sqcup B' \sqcup B'',$$

avec

$$A' := \{(a, b) \in \mathbf{inv}(\tau^{(i)}) | a \notin \{i, i+1\} \text{ et } b \notin \{i, i+1\}\},\$$

$$B' := \{(a,b) \in \mathbf{inv}(\tau^{(i)}) | (a = i \text{ et } b \notin \{i,i+1\}) \text{ ou } (b = i \text{ et } a \notin \{i,i+1\}) \}$$

$$B'' := \{(a, b) \in \mathbf{inv}(\tau^{(i)}) | (a = i + 1 \text{ et } b \notin \{i, i + 1\}) \text{ ou } (b = i + 1 \text{ et } a \notin \{i, i + 1\}) \}$$

ceci du fait que  $(i, i + 1) \notin \mathbf{inv}(\tau^{(i)})$  car  $\tau^{(i)}(i + 1) = 1 + \tau^{(i)}(i)$ .

On a encore des bijections

$$(2.3.14) A \stackrel{\sim}{\to} A', \quad B \stackrel{\sim}{\to} B', \quad B \stackrel{\sim}{\to} B''$$

induites respectivement par  $(a,b) \mapsto (\operatorname{st}_i(a),\operatorname{st}_i(b))$  (application  $A \to A'$ ),  $(a,i) \mapsto (a,i)$  et  $(i,b) \mapsto (i,b+1)$  (application  $B \to B'$ ),  $(a,i) \mapsto (a,i+1)$  et  $(i,b) \mapsto (i+1,b+1)$  (application  $B \to B''$ ). Enfin on a une bijection

$$(2.3.15) \quad \mathbf{inv}(\tau, i) \xrightarrow{\sim} B$$

donnée par  $a \mapsto (a, i)$  si a < i et  $a \mapsto (i, a)$  si i < a.

On a alors

(2.3.16)

$$|\mathbf{inv}(\tau^{(i)})| = |A'| \sqcup |B'| \sqcup |B''| = (|A| \sqcup |B|) \sqcup |B| = |\mathbf{inv}(\tau)| + |\mathbf{inv}(\tau, i)| \equiv |\mathbf{inv}(\tau)| + \tau(i) - i$$

mod 2, où la première (resp. deuxième, troisième, quatrième) égalité suit de (2.3.13) (resp. (2.3.14), (2.3.15), lemme (2.3.13). On a alors

$$\epsilon(\tau^{(i)}) = (-1)^{|\mathbf{inv}(\tau^{(i)})|} = (-1)^{|\mathbf{inv}(\tau)| + \tau(i) - i} = (-1)^{|\mathbf{inv}(\tau)|} (-1)^{\tau(i) - i} = \epsilon(\tau) (-1)^{\tau(i) - i}.$$

où la première (resp. deuxième, dernière) égalité suit de (2.3.11) (resp. (2.3.16), (2.3.11)).  $\square$ 

2.3.3. Diagramme commutatif impliquant les applications  $(f, \operatorname{sgn}), (\tilde{f}, \widetilde{\operatorname{sgn}})$  et bij.

Définition 2.17. On note

$$\tilde{f}: \mathbb{Z}^{n-1} \times \mathfrak{S}_{n-1} \times \llbracket 0, n \rrbracket \to \mathbf{Aff}(\mathbb{R}^{n-1}, \mathbb{R}^n) \quad \text{et} \quad \widetilde{\mathrm{sgn}}: \mathbb{Z}^{n-1} \times \mathfrak{S}_{n-1} \times \llbracket 0, n \rrbracket \to \{\pm 1\}$$

les applications données par

$$\tilde{f}(\tilde{v}, \tilde{\sigma}, i) := \underline{\partial}_{i}^{n} \circ \underline{c}_{k}(\tilde{v}, \tilde{\sigma}), \quad \widetilde{\operatorname{sgn}}(\tilde{v}, \tilde{\sigma}, i) := (-1)^{i} \epsilon(\tilde{\sigma}).$$

**Définition 2.18.** On note  $w \mapsto w^{(0)}$  et  $w \mapsto w^{(n)}$  les applications  $\mathbb{Z}^{n-1} \to \mathbb{Z}^n$  données par  $w^{(0)} := (0, w) \text{ et } w^{(n)} := (w, k - 1).$ 

**Définition 2.19.** On note bij :  $\mathbb{Z}^{n-1} \times \mathfrak{S}_{n-1} \times \llbracket 0, n \rrbracket \to \mathbb{Z}^n \times \mathfrak{S}_n \times \llbracket 0, n \rrbracket$  l'application donnée par  $(w,\tau,i) \mapsto (w \circ p_i,\tau^{(i)},\tau(i))$  si  $i \neq 0,n$ , par  $(w,\tau,0) \mapsto (w^{(0)},\tau^{(0)},0)$ , et par  $(w, \tau, n) \mapsto (w^{(n)}, \tau^{(n)}, n).$ 

Lemme 2.20. Le diagramme suivant commute

$$(2.3.17) \qquad \mathbb{Z}^{n-1} \times \mathfrak{S}_{n-1} \times [\![0,n]\!] \xrightarrow{\underline{\operatorname{bij}}} \mathbb{Z}^n \times \mathfrak{S}_n \times [\![0,n]\!]$$

$$(\underline{\tilde{f}},\widehat{\operatorname{sgn}}) \xrightarrow{(\underline{f},\operatorname{sgn})} \times \{\pm 1\}$$

Démonstration. Soit  $(w, \tau, i) \in \mathbb{Z}^{n-1} \times \mathfrak{S}_{n-1} \times \llbracket 0, n \rrbracket$ . Supposons  $i \neq 0, n$ . Alors

$$\operatorname{sgn} \circ \operatorname{bij}(w,\tau,i) = \operatorname{sgn}(w \circ p_i,\tau^{(i)},\tau(i)) = \epsilon(\tau^{(i)})(-1)^{\tau(i)} = \epsilon(\tau)(-1)^i = \widetilde{\operatorname{sgn}}(w,\tau,i)$$

d'après le lemme 2.16. De plus

$$\underline{f} \circ \underline{\text{bij}}(w, \tau, i) = \underline{f}(w \circ p_i, \tau^{(i)}, \tau(i)) = \underline{c}_k(w \circ p_i, \tau^{(i)}) \circ \underline{\hat{c}}_{\tau(i)}^n \\
= [(t_1, \dots, t_{n-1}) \mapsto (w \circ p_i + (\tau^{(i)})^*(t_1, \dots, t_{\tau(i)}, t_{\tau(i)}, \dots, t_{n-1}))/k] \\
= [(t_1, \dots, t_{n-1}) \mapsto (w \circ p_i + (\tau^{(i)})^*(t_{p_{\tau(i)}(1)}, \dots, t_{p_{\tau(i)}(n)}))/k] \\
= [(t_1, \dots, t_{n-1}) \mapsto (w \circ p_i + (t_{p_{\tau(i)} \circ \tau^{(i)}(1)}, \dots, t_{p_{\tau(i)} \circ \tau^{(i)}(n)}))/k] \\
= [(t_1, \dots, t_{n-1}) \mapsto (w \circ p_i + (t_{\tau \circ p_i(1)}, \dots, t_{\tau \circ p_i(n)}))/k] \\
= \underline{\hat{c}}_i^n \circ [(t_1, \dots, t_{n-1}) \mapsto (w + (t_{\tau(1)}, \dots, t_{\tau(n-1)}))/k] = \underline{\hat{c}}_i^n \circ \underline{c}_k(w, \tau) = \tilde{f}(w, \tau, i)$$

où la sixième égalité provient de  $\tau \circ p_i = p_{\tau(i)} \circ \tau^{(i)}$  (égalité d'applications  $[1, n] \to [1, n-1]$ ) et la septième égalité suit de  $\underline{\partial}_i^n(x) = x \circ p_i$  pour  $x \in \mathbb{R}^{n-1} = \text{Appl}([1, n-1]], \mathbb{R}).$ 

Si i=0, alors

$$\begin{split} & \underline{f} \circ \underline{\text{bij}}(w,\tau,0) = \underline{f}(w^{(0)},\tau^{(0)},0) = \underline{c}_k(w^{(0)},\tau^{(0)}) \circ \underline{\partial}_0^n \\ & = \big[ (t_1,\ldots,t_{n-1}) \mapsto (w^{(0)} + (\tau^{(0)})^*(0,t_1,\ldots,t_{n-1}))/k \big] \\ & = \big[ (t_1,\ldots,t_{n-1}) \mapsto ((0,w) + (0,\tau^*(t_1,\ldots,t_{n-1})))/k \big] \\ & = \big[ (t_1,\ldots,t_{n-1}) \mapsto (0,w + \tau^*(t_1,\ldots,t_{n-1}))/k \big] = \underline{\partial}_0^n \circ \underline{c}_k(w,\tau) = \tilde{f}(w,\tau,0). \end{split}$$

Si i = n, alors

$$\underline{f} \circ \underline{\text{bij}}(w,\tau,n) = \underline{f}(w^{(n)},\tau^{(n)},n) = \underline{c}_k(w^{(n)},\tau^{(n)}) \circ \underline{\partial}_n^n$$

$$= [(t_1,\ldots,t_{n-1}) \mapsto (w^{(n)} + (\tau^{(n)})^*(t_1,\ldots,t_{n-1},1))/k]$$

$$= [(t_1,\ldots,t_{n-1}) \mapsto ((w,k-1) + (\tau^*(t_1,\ldots,t_{n-1}),1))/k]$$

$$= [(t_1,\ldots,t_{n-1}) \mapsto (w + \tau^*(t_1,\ldots,t_{n-1}),k)/k]$$

$$= [(t_1,\ldots,t_{n-1}) \mapsto ((w + \tau^*(t_1,\ldots,t_{n-1}))/k,1)]$$

$$= \underline{\partial}_n^n \circ [(t_1,\ldots,t_{n-1}) \mapsto (w + \tau^*(t_1,\ldots,t_{n-1}))/k] = \underline{\partial}_n^n \circ \underline{c}_k(w,\tau) = \underline{\tilde{f}}(w,\tau,n).$$

# 2.3.4. Battages et transpositions.

**Définition 2.21.** Si  $n \ge 1$  et  $n_1, \ldots, n_k$  sont des entiers positifs ou nuls avec  $n_1 + \cdots + n_k = n$ , on note  $\mathfrak{S}_{n_1, \ldots, n_k}$  l'ensemble des éléments  $\sigma \in \mathfrak{S}_n$  tel que pour tout  $i = 1, \ldots, k$ , la restriction de  $\sigma$  à  $n_1 + \cdots + n_{i-1} + [1, n_i]$  est croissante.

Si  $n_i = 0$ , l'ensemble  $[1, n_i]$  est vide, la condition relative à i est alors automatiquement satisfaite.

**Lemme 2.22.** Soit  $n_1, ..., n_k$  des entiers  $\geq 1$  et  $\sigma \in \mathfrak{S}_{n_1,...,n_k}$  et  $i \in [\![1,n-1]\!]$  avec  $n := n_1 + \cdots + n_k$ . Alors  $s_{i,i+1} \circ \sigma \notin \mathfrak{S}_{n_1,...,n_k}$  si et seulement si  $\sigma^{-1}(i) \notin \{n_1, n_1 + n_2, ..., n_1 + \cdots + n_k\}$  et  $\sigma^{-1}(i+1) = \sigma^{-1}(i) + 1$ .

Démonstration. Soit  $\sigma \in \mathfrak{S}_{n_1,\ldots,n_k}$  et  $i \in [1, n-1]$ . Soit  $j := \sigma^{-1}(i)$ ,  $j' := \sigma^{-1}(i+1)$ . Pour  $\alpha \in [1, k]$ , notons  $I_{\alpha} := n_1 + \cdots + n_{\alpha-1} + [1, n_{\alpha}]$ . Alors on a une partition  $[1, n] = \sqcup_{\alpha=1}^k I_{\alpha}$ . Soit  $\alpha, \alpha' \in [1, k]$  les indices tels que  $j \in I_{\alpha}$ ,  $j' \in I_{\alpha'}$ . Montrer l'équivalence annoncée, on montre d'abord l'équivalence  $(\alpha = \alpha') \iff (s_{i,i+1} \circ \sigma \notin \mathfrak{S}_{n_1,\ldots,n_k})$ , puis l'équivalence  $(\alpha = \alpha') \iff (\sigma^{-1}(i) \notin \{n_1, n_1 + n_2, \ldots, n_1 + \cdots + n_k\}$  et  $\sigma^{-1}(i+1) = \sigma^{-1}(i) + 1$ .

Première étape : équivalence  $(\alpha = \alpha') \iff (s_{i,i+1} \circ \sigma \notin \mathfrak{S}_{n_1,...,n_k})$ . (a) Supposons  $\alpha = \alpha'$ . Alors on a  $j,j' \in I_{\alpha}$ . La restriction  $\sigma_{|I_{\alpha}}$  est strictement croissante, et  $\sigma(j) = i$ ,  $\sigma(j') = i+1$ , donc j < j'. De plus, si on avait j' > j+1, alors  $j+1 \in I_{\alpha}$  et  $\sigma(j) < \sigma(j+1) < \sigma(j')$  donc  $i < \sigma(j+1) < i+1$  ce qui est impossible,  $\sigma(j+1)$  étant entier. Donc j' = j+1. Comme  $j+1 \in I_{\alpha}$ , on a nécessairement  $j \neq n_1 + \cdots + n_{\alpha}$ . De plus, la restriction de  $s_{i,i+1} \circ \sigma$  à  $I_{\alpha}$  est telle que  $j \mapsto i+1$  et  $j+1 \mapsto i$ ; cette restriction n'est donc pas strictement croissante, donc  $s_{i,i+1} \circ \sigma \notin \mathfrak{S}_{n_1,...,n_k}$ .

Supposons  $\alpha \neq \alpha'$ . Comme  $\sigma(I_{\alpha}) \not\ni i+1$ , la restriction de  $s_{i,i+1} \circ \sigma$  à  $I_{\alpha}$  est égale à  $a \circ \sigma_{|I_{\alpha}}$ , où  $a : \sigma(I_{\alpha}) \to [\![1,n]\!]$  est donnée par  $x \mapsto x$  si  $x \neq i$  et  $i \mapsto i+1$ . L'application a est croissante, donc il est de même de  $(s_{i,i+1} \circ \sigma)_{|I_{\alpha}}$ . De même,  $\sigma(I_{\alpha'}) \not\ni i$ , donc la restriction de  $s_{i,i+1} \circ \sigma$  à  $I_{\alpha'}$  est égale à  $a' \circ \sigma_{|I_{\alpha}}$ , où  $a' : \sigma(I_{\alpha'}) \to [\![1,n]\!]$  est donnée par  $x \mapsto x$  si  $x \neq i+1$  et  $i+1 \mapsto i$ .

L'application a' est croissante, donc il est de même de  $(s_{i,i+1} \circ \sigma)_{|I_{\alpha'}}$ . Enfin pour tout  $\beta \neq \alpha, \alpha'$ , on a  $(s_{i,i+1} \circ \sigma)_{|I_{\beta}} = \sigma_{|I_{\beta}}$  donc  $(s_{i,i+1} \circ \sigma)_{|I_{\beta}}$  est croissante. Donc  $s_{i,i+1} \circ \sigma \in \mathfrak{S}_{n_1,\ldots,n_k}$ .

On a donc équivalence entre  $s_{i,i+1} \circ \sigma \notin \mathfrak{S}_{n_1,\dots,n_k}$  et  $\alpha = \alpha'$ .

Seconde étape :  $(\alpha = \alpha') \iff (\sigma^{-1}(i) \notin \{n_1, n_1 + n_2, \dots, n_1 + \dots + n_k\} \text{ et } \sigma^{-1}(i+1) =$  $\sigma^{-1}(i)+1$ ). On a vu que si  $\alpha=\alpha'$ , alors j'=j+1 et  $j\neq n_1+\cdots+n_\alpha$ . Comme  $j\in I_\alpha$ , on a aussi  $j \neq n_1 + \cdots + n_\beta$  pour tout  $\beta \neq \alpha$ , donc  $j \notin \{n_1, \ldots, n_1 + \cdots + n_k\}$ .

Inversement, si j' = j + 1 et  $j \notin \{n_1, \ldots, n_1 + \cdots + n_k\}$ , on a  $j \neq n_1 + \cdots + n_{\alpha}$  donc  $j \in n_1 + \dots + n_{\alpha-1} + [[1, n_{\alpha} - 1]] \text{ donc } j' = j + 1 \in n_1 + \dots + n_{\alpha-1} + [[1, n_{\alpha}]] = I_{\alpha}, \text{ donc}$  $\alpha = \alpha'$ .

# 2.3.5. La bijection bij.

**Définition 2.23.** (a) On note  $[0, k-1]_{\leq}^n := \{(v_1, \dots, v_n) \in \mathbb{Z}^n | 0 \leq v_1 \leq \dots \leq v_n \leq k-1 \}.$ 

(b) On note  $\operatorname{Ens}_n^k$  l'ensemble des couples  $(v, \sigma) \in [0, k-1]_{\leq 1}^n \times \mathfrak{S}_n$ , tels que  $\sigma \in \mathfrak{S}_{|v^{-1}(0)|, \dots, |v^{-1}(k-1)|}$ .

Si  $(v, \sigma) \in \operatorname{Ens}_n^k$ , on a pour tout  $i \in [1, n-1]$  l'implication

$$(2.3.18) (v_i = v_{i+1}) \implies (\sigma(i) < \sigma(i+1)).$$

Lemme 2.24. Soit  $(v, \sigma, i) \in \operatorname{Ens}_n^k \times [0, n]$ .

- (a) Si  $i \neq 0, n$ , la condition invol $(v, \sigma, i) \notin \operatorname{Ens}_n^k \times [0, n]$  est équivalente à la conjonction de  $\sigma^{-1}(i) \notin \{|v^{-1}(0)|, \dots, |v^{-1}(0)| + \dots + |v^{-1}(k-1)|\}\ et\ \sigma^{-1}(i+1) = \sigma^{-1}(i) + 1.$
- (b) Si i = n, la condition  $\operatorname{invol}(v, \sigma, i) \notin \operatorname{Ens}_n^k \times \llbracket 0, n \rrbracket$  est équivalente à la conjonction  $\sigma(n) = n \ et \ v(n) = k - 1$ ;
- (c) Si i = 0, la condition invol $(v, \sigma, i) \notin \operatorname{Ens}_n^k \times [0, n]$  est équivalente à la conjonction  $\sigma(1) = 1 \ et \ v(1) = 0.$

Démonstration. (a) On a  $\sigma \in \mathfrak{S}_{|v^{-1}(0)|,...,|v^{-1}(0)|+...+|v^{-1}(k-1)|}$  et  $invol(v,\sigma,i) = (v,s_{i,i+1}\circ\sigma,i)$ . On a  $v \in [\![0,k-1]\!]_{\leqslant}^n$  donc on a équivalence entre  $\operatorname{invol}(v,\sigma,i) \notin \operatorname{Ens}_n^k \times [\![0,n]\!]$  et  $s_{i,i+1} \circ \sigma \notin \operatorname{Ens}_n^k \times [\![0,n]\!]$  $\mathfrak{S}_{|v^{-1}(0)|,\dots,|v^{-1}(0)|+\dots+|v^{-1}(k-1)|}$ . Le résultat est alors conséquence du lemme 2.22.

(b) Rappelons que invol $(v, \sigma, n) = (v + e_{\sigma^{-1}(n)}^n, c \circ \sigma, 0)$ .

Notons  $n_{\alpha} := |v^{-1}(\alpha - 1)|$  pour  $\alpha = 1, \dots, k$ . Alors on a une partition  $[1, n] = \bigsqcup_{\alpha=1}^{k} I_{\alpha}$ , avec  $I_{\alpha} = n_1 + \dots + n_{\alpha-1} + [[1, n_{\alpha}]]$  (avec la convention que  $I_{\alpha} = \emptyset$  si  $n_{\alpha} = 0$ ), et v prend la valeur  $\alpha - 1$ sur  $I_{\alpha}$ , pour tout  $\alpha$ . Rappelons l'identification de  $[0, k-1]_{\leq}^n$  à l'ensemble Appl $([1, n], [0, k-1]_{\leq}^n$ 1]]). On a  $\sigma^{-1}(n) \in \{n_1 + \dots + n_\beta | n_\beta \neq 0\}$  donc  $v + e^n_{\sigma^{-1}(n)} \in \text{Appl}_{\leq}(\llbracket 1, n \rrbracket, \llbracket 0, k \rrbracket)$ . De plus,  $v + e_{\sigma^{-1}(n)}^n$  atteint la valeur k si et seulement si  $n_k \neq 0$  et  $\sigma^{-1}(n) = n_1 + \cdots + n_k$ . La conjonction de ces conditions est équivalente à celle de v(n) = k - 1 et  $\sigma(n) = n$ . Ceci montre l'équivalence entre  $v + e_{\sigma^{-1}(n)}^n \notin [0, k-1]_{\leq}^n$  et la conjonction des conditions v(n) = k-1 et  $\sigma(n) = n$ .

Alors si v(n) = k - 1 et  $\sigma(n) = n$ , on a  $v + e_{\sigma^{-1}(n)}^n \notin [0, k - 1]_{\leq}^n$  donc invol $(v, \sigma, 0) \notin$  $\operatorname{Ens}_n^k \times [0, n].$ 

Si v(n) < k-1 ou  $\sigma(n) \neq n$ , montrons que invol $(v, \sigma, 0) \in \operatorname{Ens}_n^k \times [\![0, n]\!]$ . D'une part, on a  $w := v + e_{\sigma^{-1}(n)}^n \in [\![0, k-1]\!]_{\leqslant}^n$ . Montrons qu'on a d'autre part  $c \circ \sigma \in \mathfrak{S}_{|w^{-1}(0)|, \dots, |w^{-1}(k-1)|}$ , ceci dans chacun des cas  $\sigma(n) \neq n$  et  $(\sigma(n) = n \text{ et } v(n) < k-1)$ .

Premier  $cas: \sigma(n) \neq n$ . Soit  $\alpha$  l'indice tel que  $\sigma^{-1}(n) \in I_{\alpha}$ . On a nécessairement  $\alpha < k$  et  $n_{\alpha} > 0$ ; de plus  $\sigma^{-1}(n) = \max(I_{\alpha})$ . Rappelons que  $(|v^{-1}(0)|, \dots, |v^{-1}(k-1)|) = (n_1, \dots, n_k)$ , alors  $(|w^{-1}(0)|, \dots, |w^{-1}(k-1)|) = (n_1, \dots, n_{\alpha} - 1, n_{\alpha+1} + 1, \dots, n_k)$ , et la partition de  $[\![1, n]\!]$  associée à w est  $(J_1, \dots, J_k)$  avec  $J_{\beta} = I_{\beta}$  pour  $\beta \in [\![1, k]\!] - \{\alpha, \alpha + 1\}$ ,  $J_{\alpha} = I_{\alpha} - \{\max(I_{\alpha})\}$ ,  $J_{\alpha+1} = \{\max(I_{\alpha})\} \cup I_{\alpha+1}$ . Montrons que  $c \circ \sigma \in \mathfrak{S}_{n_1, \dots, n_{\alpha} - 1, n_{\alpha+1} + 1, \dots, n_k}$ . Si  $\beta \in [\![1, k]\!] - \{\alpha\}$ , alors  $\sigma(I_{\beta}) \not\ni n$ . La restriction de  $c \circ \sigma$  à  $I_{\beta}$  est strictement croissante. En particulier, si  $\beta \in [\![1, k]\!] - \{\alpha, \alpha + 1\}$ , la restriction de  $c \circ \sigma$  à  $J_{\beta} = I_{\beta}$  est strictement croissante.

Rappelons que la restriction de  $c \circ \sigma$  à  $I_{\alpha+1}$  est strictement croissante. On a  $J_{\alpha} = \{\max(I_{\alpha})\} \cup I_{\alpha+1}$  avec  $\max(I_{\alpha}) \leq I_{\alpha+1}$  et  $c \circ \sigma(\max(I_{\alpha})) = 0$ , donc la restriction de  $c \circ \sigma$  à  $J_{\alpha+1}$  est strictement croissante.

Comme  $J_{\alpha} = I_{\alpha} - \{ \max(I_{\alpha}) \}$  et que  $\max(I_{\alpha}) = \sigma^{-1}(n)$ , on a  $\sigma(J_{\alpha}) \not\ni n$ . La restriction de c à  $\sigma(J_{\beta})$  est donc  $x \mapsto x+1$ , qui est strictement croissante. Donc la restriction de  $c \circ \sigma$  à  $J_{\alpha}$  est strictement croissante.

Donc on a  $c \circ \sigma \in \mathfrak{S}_{|w^{-1}(0)|,\ldots,|w^{-1}(k-1)|}$ .

Deuxième cas :  $\sigma(n) = n$  et v(n) < k - 1. Soit  $p := 1 + \max\{i \in [0, k - 1] | |v^{-1}(i)| \neq 0\}$ ; alors p < k. Alors  $(|v^{-1}(0)|, \dots, |v^{-1}(k-1)|) = (n_1, \dots, n_p, 0, \dots, 0)$ . Comme  $\sigma(n) = n$ , on a  $\sigma^{-1}(n) = n = n_1 + \dots + n_p$ . Donc  $(|w^{-1}(0)|, \dots, |w^{-1}(k-1)|) = (n_1, \dots, n_p - 1, 1, 0, \dots, 0)$ , la partition correspondant à w étant donnée par  $(J_1, \dots, J_k)$  avec  $J_{\alpha} = I_{\alpha}$  pour  $\alpha \neq p, p + 1$ ,  $J_p := I_p - \{n\}$ , et  $J_{p+1} = \{n\}$ . Si  $\alpha \neq p, p + 1$ ,  $\sigma(I_{\alpha}) \not\equiv n$ , donc la restriction de c à  $\sigma(I_{\alpha})$  est  $x \mapsto x + 1$  qui est strictement croissante, donc la restriction de c à  $\sigma(J_p)$  est  $x \mapsto x + 1$  qui est strictement croissante, donc la restriction de c à  $\sigma(J_p)$  est  $\sigma(I_p) \not\equiv I_p - \{I_p\}$  et  $\sigma(I_p) \not\equiv I_p$  est strictement croissante. Enfin,  $\sigma(I_p) \not\equiv I_p$  est strictement croissante. Enfin,  $\sigma(I_p) \not\equiv I_p$  est strictement croissante. Enfin,  $\sigma(I_p) \not\equiv I_p$  est strictement croissante.

Donc 
$$c \circ \sigma \in \mathfrak{S}_{n_1,\dots,n_p-1,1,0,\dots,0} = \mathfrak{S}_{|w^{-1}(0)|,\dots,|w^{-1}(k-1)|}.$$
(c) Démonstration semblable à celle de (b).

**Lemme 2.25.** bij induit une bijection bij entre  $\operatorname{Ens}_{n-1}^k \times \llbracket [0,n \rrbracket]$  et  $\{x \in \operatorname{Ens}_n^k \times \llbracket [0,n \rrbracket] | \operatorname{invol}(x) \notin \operatorname{Ens}_n^k \times \llbracket [0,n \rrbracket] \}$ . On a alors le diagramme commutatif

$$(2.3.19) \qquad \operatorname{Ens}_{n-1}^{k} \times \llbracket [0, n] \rrbracket \xrightarrow{\operatorname{bij}} \quad \star \{x \in \operatorname{Ens}_{n}^{k} \times \llbracket [0, n] \rrbracket | \operatorname{invol}(x) \notin \operatorname{Ens}_{n}^{k} \times \llbracket [0, n] \rrbracket \} \}$$

$$\mathbb{Z}^{n-1} \times \mathfrak{S}_{n-1} \times \llbracket [0, n] \rrbracket \xrightarrow{\operatorname{bij}} \quad \mathbb{Z}^{n} \times \mathfrak{S}_{n} \times \llbracket [0, n] \rrbracket$$

Démonstration. D'après le lemme 1.29, il suffit de montrer que bij induit une bijection entre  $\operatorname{Ens}_{n-1}^k \times \llbracket [0, n \rrbracket]$  et

$$E := E_n \sqcup E_0 \sqcup E_{\llbracket 1, n-1 \rrbracket}$$

οù

$$E_n := \{ (v, \sigma, n) | (v, \sigma) \in \operatorname{Ens}_n^k \text{ et } \sigma(n) = n \text{ et } v(n) = k - 1 \},$$
  
$$E_0 := \{ (v, \sigma, 0) | (v, \sigma) \in \operatorname{Ens}_n^k \text{ et } \sigma(1) = 1 \text{ et } v(1) = 0 \},$$

$$E_{\llbracket 1,n-1\rrbracket} := \{(v,\sigma,i) \in \operatorname{Ens}_{n}^{k} \times \llbracket 1,n-1\rrbracket | \sigma^{-1}(i) \notin \{|v^{-1}(0)|,\dots,|v^{-1}(0)|+\dots+|v^{-1}(k-1)|\}$$
 et  $\sigma^{-1}(i+1) = \sigma^{-1}(i)+1\}.$ 

Pour cela, on montre séparément que bij induit une bijection entre (a)  $\operatorname{Ens}_{n-1}^k \times \{n\}$  et  $E_n$ , (b)  $\operatorname{Ens}_{n-1}^k \times \{0\}$  et  $E_0$ , et (c)  $\operatorname{Ens}_{n-1}^k \times [[1, n-1]]$  et  $E_{[1,n-1]}$ .

(a) Montrons que bij envoie  $\operatorname{Ens}_{n-1}^k \times \{n\}$  dans  $E_n$ . Soit  $(w,\tau) \in \operatorname{Ens}_{n-1}^k$ . On a  $w \in$  $[0, k-1]_{\leq 1}^{n-1}$ , ce qui implique  $w^{(n)} = (w, k-1) \in [0, k-1]_{\leq 1}^n$ . Posons  $v := w^{(n)}$ , alors pour tout  $i \in [0, k-1]$ , on a  $v^{-1}(i) = w^{-1}(i)$  si  $i \neq k-1$  et  $v^{-1}(k-1) = w^{-1}(k-1) \sqcup \{n\}$ . Si  $i \neq k-1$ , la restriction de  $\tau^{(n)}$  à  $v^{-1}(i)$  coïncide avec la restriction de  $\tau$  à  $w^{-1}(i)$ , qui est croissante car  $\tau \in \mathfrak{S}_{|w^{-1}(0)|,\dots,|w^{-1}(k-1)|}$ . La restriction de  $\tau^{(n)}$  à  $v^{-1}(k-1)$  est l'union disjointe de la restriction de  $\tau$  à  $w^{-1}(k-1)$ , qui est croissante et à valeurs dans [1, n-1] et de l'application  $n \mapsto n$ . Comme on a  $w^{-1}(k-1) < n$ , cette union disjointe est croissante. Donc  $\tau^{(n)} \in \mathfrak{S}_{|v^{-1}(0)|,...,|v^{-1}(k-1)|}$ , ce qui implique  $(w^{(n)},\tau^{(n)}) \in \operatorname{Ens}_n^k$ . De plus, on a  $w^{(n)}(n) = k-1$ et  $\tau^{(n)}(n) = n$ , donc bij $(w, \tau, n) = (w^{(n)}, \tau^{(n)}, n) \in E_n$ .

Donc bij $(\operatorname{Ens}_{n-1}^k \times \{n\}) \subset E_n$ , notons

$$\mathrm{bij}_n: \mathrm{Ens}_{n-1}^k \times \{n\} \to E_n$$

l'application induite. Soit invbij :  $E_n \to \mathbb{Z}^{n-1} \times \mathfrak{S}_{n-1} \times \{n\}$  l'application donnée par  $(v, \sigma, n) \mapsto$  $(v_{|\lceil 1,n-1\rceil \rceil},\sigma_{|\lceil 1,n-1\rceil \rceil},n)$ ; comme  $\sigma \in \mathfrak{S}_n$  et  $\sigma(n)=n,$  on a bien  $\sigma_{|\lceil 1,n-1\rceil \rceil} \in \mathfrak{S}_{n-1}.$ 

Montrons que invbij, envoie  $E_n$  dans  $\operatorname{Ens}_{n-1}^k \times \{n\}$ . Soit  $(v, \sigma, n) \in E_n$ , et posons w := $v_{|\lceil 1,n-1\rceil \rceil}, \tau := \sigma_{|\lceil 1,n-1\rceil \rceil}.$  Alors  $v \in [0,k-1]]_{\leq}^n$  ce qui implique  $w \in [0,k-1]]_{\leq}^n$ . De plus, pour chaque  $i \in [0, k-1], w^{-1}(i)$  est contenu dans  $w^{-1}(i)$  (on a même égalité si  $i \neq k-1$ ). La restriction de  $\tau$  à  $w^{-1}(i)$  coïncide avec la restriction de  $\sigma$  au même ensemble, qui est croissante par la croissance de  $\sigma$  en restriction à  $v^{-1}(i)$ , qui contient  $w^{-1}(i)$ . Donc  $(w,\tau) \in \operatorname{Ens}_{n-1}^k$ .

Donc <u>invbij</u> envoie  $E_n$  dans  $\operatorname{Ens}_{n-1}^k \times \{n\}$ . Notons

$$invbij_n : E_n \to Ens_{n-1}^k \times \{n\}$$

l'application induite. On vérifie que les compositions invbij $_n \circ \mathrm{bij}_n$  et  $\mathrm{bij}_n \circ \mathrm{invbij}_n$  sont l'identité. On en déduit que bij $_n$  est une bijection.

- (b) Démonstration semblable à celle de (a).
- (c) Montrons que bij envoie  $\operatorname{Ens}_{n-1}^k \times [1, n-1]$  dans  $E_{[1,n-1]}$ . Soit  $(w,\tau,i) \in \operatorname{Ens}_{n-1}^k \times$  $\llbracket [1, n-1 \rrbracket]$  et posons  $v := w \circ p_i, \ \sigma := \tau^{(i)}$ . Comme  $p_i : \llbracket [1, n \rrbracket] \to \llbracket [1, n-1 \rrbracket]$  est croissante et

 $w \in \llbracket 0, k-1 \rrbracket_{\leqslant}^{n-1}, \text{ on a } v \in \llbracket 0, k-1 \rrbracket_{\leqslant}^{n}. \text{ On a alors pour } j \in \llbracket 0, k-1 \rrbracket, v^{-1}(j) = w^{-1}(j) \text{ si } j < w(i), \text{ l'égalité } v^{-1}(j) = w^{-1}(j) + 1 \text{ si } j > w(i), \text{ et } v^{-1}(w(i)) = w^{-1}(w(i)) \cup (w^{-1}(w(i)) + 1).$  Si j < w(i), la restriction de  $\sigma$  à  $v^{-1}(j) = w^{-1}(j)$  est égale à la composition  $\operatorname{st}_{\tau(i)} \circ \tau_{|w^{-1}(j)},$  qui est croissante par croissance de chacun des termes. Si j > w(i), la restriction de  $\sigma$  à  $v^{-1}(j) = w^{-1}(j) + 1$  est égale à la composition  $\operatorname{st}_{\tau(i)-1} \circ \tau_{|w^{-1}(j)} \circ (x \mapsto x-1)$ , qui est croissante par croissance de chacun des termes. Notons  $\alpha, \beta$  les éléments minimaux et maximaux de  $v^{-1}(w(i))$ ; comme cet ensemble est un intervalle, on a  $v^{-1}(w(i)) = \llbracket \alpha, \beta \rrbracket = i$ . Alors  $v^{-1}(w(i)) = \llbracket \alpha, \beta + 1 \rrbracket$ . La restriction de  $\sigma$  à  $v^{-1}(w(i)) = \llbracket \alpha, \beta + 1 \rrbracket$  est donnée par  $v^{-1}(v) = v^{-1}(v) = v$ 

On sait que  $\tau^{(i)}(i) = \tau(i)$  et  $\tau^{(i)}(i+1) = \tau(i) + 1$ . Alors  $(\tau^{(i)})^{-1}(\tau(i)) = i$ . L'ensemble  $\{|v^{-1}(0)|, \dots, |v^{-1}(0)| + \dots + |v^{-1}(k-1)|\}$  est celui des maxima des intervalles de la partition  $[\![1,n]\!] = v^{-1}(0) \sqcup \dots \sqcup v^{-1}(k-1)$ . Celui de ces intervalles auquel appartient i est  $v^{-1}(v(i)) = [\![\alpha,\beta+1]\!]$ , on a donc pour  $j \neq v(i)$ ,  $i \neq \max(v(j))$ . Comme  $i \leq \beta$ , on a  $i \neq \beta+1 = \max(v^{-1}(v(i)))$ . On a donc pour tout  $j \in [\![0,k-1]\!]$ ,  $i \neq \max(v^{-1}(j))$ , donc  $(\tau^{(i)})^{-1}(\tau(i)) = i \notin \{|v^{-1}(0)|,\dots,|v^{-1}(0)|+\dots+|v^{-1}(k-1)|\}$ . De plus, on a  $(\tau^{(i)})^{-1}(\tau(i)+1) = i+1 = (\tau^{(i)})^{-1}(\tau(i))+1$ . On en déduit  $(w \circ p_i, \tau^{(i)}, \tau(i)) \in E_{[\![1,n-1]\!]}$ .

Donc  $\underline{\text{bij}}(\text{Ens}_{n-1}^k \times \llbracket 1, n-1 \rrbracket) \subset E_{\llbracket 1, n-1 \rrbracket}$ . Notons

$$\mathrm{bij}_{\lceil\!\lceil 1,n-1\rceil\!\rceil}:\mathrm{Ens}_{n-1}^k\times[\!\lceil 1,n-1]\!\rceil\to E_{\lceil\!\lceil 1,n-1\rceil\!\rceil}$$

l'application induite.

Pour  $(v, \sigma, j) \in E_{[1, n-1]}$  posons

$$(2.3.20) \qquad \underline{\operatorname{invbij}}_{\llbracket 1, n-1 \rrbracket}(v, \sigma, j) := (v \circ \operatorname{st}_{\sigma^{-1}(j)}, p_j \circ \sigma \circ \operatorname{st}_{\sigma^{-1}(j)}, \sigma^{-1}(j)) = (w, \tau, i).$$

Alors  $\operatorname{st}_{\sigma^{-1}(j)}$  est une application  $[1,n-1] \to [1,n]$ , donc  $w \in \mathbb{Z}^{n-1}$ . On a aussi  $i \in [1,n]$ . Enfin  $\tau = p_j \circ \sigma \circ \operatorname{st}_{\sigma^{-1}(j)}$  est une application de [1,n-1] dans lui-même. Montrons son injectivité. Supposons  $x \neq x' \in [1,n-1]$  et  $\tau(x) = \tau'(x)$ . Par injectivité de  $\sigma$  et  $\operatorname{st}_{\sigma^{-1}(j)}$  on a  $\sigma \circ \operatorname{st}_{\sigma^{-1}(j)}(x) \neq \sigma \circ \operatorname{st}_{\sigma^{-1}(j)}(x')$  donc on a (quitte à échanger x et x')  $\sigma \circ \operatorname{st}_{\sigma^{-1}(j)}(x) = j$  et  $\sigma \circ \operatorname{st}_{\sigma^{-1}(j)}(x') = j + 1$ . Donc  $\operatorname{st}_{\sigma^{-1}(j)}(x) = \sigma^{-1}(j)$  et  $\operatorname{st}_{\sigma^{-1}(j)}(x) = \sigma^{-1}(j) + 1$ . Or  $\sigma^{-1}(j) + 1$  n'est pas dans l'image de  $\operatorname{st}_{\sigma^{-1}(j)}$ , contradiction. On a donc l'injectivité de  $\tau$ , donc  $\tau \in \mathfrak{S}_{n-1}$ . Ceci montre que (2.3.20) définit une application

$$\underline{\mathrm{invbij}}_{\llbracket 1,n-1\rrbracket}:E_{\llbracket 1,n-1\rrbracket}\to\mathbb{Z}^n\times\mathfrak{S}_n\times\llbracket 1,n-1\rrbracket.$$

Montrons que  $\underline{\operatorname{invbij}}_{\llbracket 1,n-1\rrbracket}$  envoie  $E_{\llbracket 1,n-1\rrbracket}$  dans  $\operatorname{Ens}_n^k \times \llbracket 1,n-1\rrbracket$ . Dans (2.3.20), on a  $w = v \circ \operatorname{st}_{\sigma^{-1}(j)}$ . On a  $v \in \llbracket 0,k-1\rrbracket_{\leqslant}^{n-1}$  et  $\operatorname{st}_{\sigma^{-1}(j)}$  est une application croissante  $\llbracket 1,n-1\rrbracket \to \llbracket 1,n\rrbracket$ , ce qui implique  $w \in \llbracket 1,k-1\rrbracket_{\leqslant}^n$ .

Montrons que  $\tau \in \mathfrak{S}_{|w^{-1}(0)|,...,|w^{-1}(k-1)|}$ . Ceci revient à montrer que la restriction de  $\tau$  à  $w^{-1}(\ell)$  est croissante pour tout  $\ell \in [0, k-1]$ . Rappelons que  $v^{-1}(v(\sigma^{-1}(i)))$  est un intervalle de [1,n] dont  $\sigma^{-1}(i)$  n'est pas le plus grand élément. Notons  $\alpha,\beta$  les minimum et maximum de cet intervalle, alors  $v^{-1}(v(\sigma^{-1}(i))) = [\alpha, \beta]$  avec  $\alpha \leq \sigma^{-1}(i) < \beta$ .

Si  $\ell < v(\sigma^{-1}(i))$ , alors  $w^{-1}(\ell) = v^{-1}(\ell)$ , et la restriction de  $\tau$  à  $w^{-1}(\ell)$  coïncide avec la restriction de  $p_{\sigma^{-1}(j)} \circ \sigma$  au même intervalle. Comme  $\sigma_{|v^{-1}(\ell)}$  et  $p_{\sigma^{-1}(j)}$  sont croissantes,  $\tau_{|w^{-1}(\ell)}$  est donc croissante. Si  $\ell > v(\sigma^{-1}(i))$ , alors  $w^{-1}(\ell) = v^{-1}(\ell) - 1$ , et la restriction de  $\tau$  à  $w^{-1}(\ell)$  coïncide avec la restriction de  $p_{\sigma^{-1}(j)} \circ \sigma \circ (x \mapsto x+1)$  au même intervalle. Comme  $(\sigma \circ (x \mapsto x+1))_{|v^{-1}(\ell)-1}$  et  $p_{\sigma^{-1}(j)}$  sont croissantes,  $\tau_{|w^{-1}(\ell)}$  est donc croissante. On a  $w^{-1}(v(\sigma^{-1}(i))) = [\alpha, \beta - 1]$ . La restriction de  $\tau$  à  $[\alpha, \sigma^{-1}(i)]$  coïncide avec celle de  $\sigma$  à cet intervalle qui est croissante, cet intervalle étant contenu dans  $v^{-1}(v(\sigma^{-1}(i)))$ , donc  $\tau_{|||\alpha,\sigma^{-1}(i)||}$ est croissante. La restriction de  $\tau$  à  $[\sigma^{-1}(i), \beta - 1]$  coïncide avec celle de  $\sigma \circ (x \mapsto x + 1)$  à cet intervalle qui est croissante par croissance de  $\sigma$  sur  $v^{-1}(v(\sigma^{-1}(i)))$ , donc  $\tau_{|||\sigma^{-1}(i),\beta-1||}$  est croissante. Il suit que la restriction de  $\tau$  à  $[\alpha, \beta - 1] = w^{-1}(v(\sigma^{-1}(i)))$  est croissante. Tout ceci implique  $\tau \in \mathfrak{S}_{|w^{-1}(0)|,\dots,|w^{-1}(k-1)|}$ .

Comme  $\tau \in \mathfrak{S}_{|w^{-1}(0)|,...,|w^{-1}(k-1)|}$  et  $w \in [1, k-1]_{\leq}^n$ , on a  $(w, \tau) \in \operatorname{Ens}_{n-1}^k$ . Donc  $\underline{\text{invbij}}_{\llbracket 1,n-1\rrbracket}(E_{\llbracket 1,n-1\rrbracket}) \subset \text{Ens}_n^k \times \llbracket 1,n-1 \rrbracket$ . Notons

$$\mathrm{invbij}_{\llbracket 1,n-1\rrbracket}:E_{\llbracket 1,n-1\rrbracket}\to\mathrm{Ens}_n^k\times\llbracket 1,n-1\rrbracket$$

l'application induite. On vérifie que les compositions invbij $_n \circ \text{bij}_n = \text{tbij}_n \circ \text{invbij}_n$  sont l'identité. On en déduit que bij[1,n-1] est une bijection. 

2.3.6. Diagramme commutatif impliquant Aff $(\Delta^{n-1}, \Delta^n) \times \{\pm 1\}$ .

**Définition 2.26.** Pour  $n, m \ge 0$ , on note  $\mathrm{Aff}(\Delta^n, \Delta^m)$  l'ensemble des applications  $\phi : \Delta^n \to 0$  $\Delta^m$  telles qu'il existe une application affine  $\underline{\phi}: \mathbb{R}^n \to \mathbb{R}^m$  telle que  $\underline{\phi} \circ \operatorname{can}_n = \operatorname{can}_m \circ \phi$ . (avec  $can_n$ ,  $can_m$  comme en déf. 2.1)

Lemme 2.27. Soit  $n, m \ge 0$ .

- (a)  $Si \phi \in Aff(\Delta^n, \Delta^m)$ , une application affine  $\phi : \mathbb{R}^n \to \mathbb{R}^m$  comme en déf. 2.26 est unique.
- (b) L'application  $\mathrm{Aff}(\Delta^n,\Delta^m)\to \mathbf{Aff}(\mathbb{R}^n,\mathbb{R}^m),\ \phi\mapsto\underline{\phi}\ est\ injective.$

Démonstration. (a) est une conséquence de ce que  $\Delta^n$  contient une base affine de  $\mathbb{R}^n$ , à savoir  $(E_0^n,\ldots,E_n^n)$ . (b) provient de ce qu'une application affine est uniquement déterminée par l'image d'une base affine. 

On déduit du lemme 2.27 une famille d'inclusions

(2.3.21) 
$$\operatorname{Aff}(\Delta^n, \Delta^m) \subset \operatorname{Aff}(\mathbb{R}^n, \mathbb{R}^m)$$

pour  $n, m \ge 0$ , compatible avec les compositions d'applications.

**Lemme-Définition 2.28.** Dans la situation de la déf. 2.6, si  $P_0, \ldots, P_n \in \Delta^m$ , l'application  $[\underline{P_0, \ldots, P_n}]$  envoie  $\Delta^n$  dans  $\Delta^m$ , donc appartient à l'image de l'injection  $\operatorname{Aff}(\Delta^n, \Delta^m) \hookrightarrow \operatorname{Aff}(\mathbb{R}^n, \mathbb{R}^m)$ . On note  $[P_0, \ldots, P_n]$  l'élément de  $\operatorname{Aff}(\Delta^n, \Delta^m)$  correspondant.

Démonstration. Suit de la convexité de  $\Delta^n$  et  $\Delta^m$ , et de ce que  $(E_0^n, \dots, E_n^n)$  forme une base du convexe  $\Delta^n$ .

**Lemme-Définition 2.29.**  $Si(v,\sigma) \in \operatorname{Ens}_n^k$ , alors  $\underline{c}_k(v,\sigma)$  appartient à l'image de l'injection  $\operatorname{Aff}(\Delta^n,\Delta^n) \hookrightarrow \operatorname{Aff}(\mathbb{R}^n,\mathbb{R}^n)$ . On note  $c_k(v,\sigma) \in \operatorname{Aff}(\Delta^n,\Delta^n)$  la préimage de  $\underline{c}_k(v,\sigma)$ .

Démonstration. L'application associée à  $(v, \sigma) \in \operatorname{Ens}_n^k$  est donnée par

$$(x_1,\ldots,x_n)\mapsto ((v_1+x_{\sigma(1)})/k,\ldots,(v_n+x_{\sigma(n)})/k)=:(y_1,\ldots,y_n);$$

c'est une endo-application continue de  $\mathbb{R}^n$ . Supposons  $(x_1,\ldots,x_n)\in\Delta^n$ . Comme  $v_1\geqslant 0$  et  $x_{\sigma(1)}\geqslant 0$ , on a  $y_1\geqslant 0$ ; de même,  $v_n\leqslant k-1$  et  $x_{\sigma(n)}\leqslant 1$  implique  $y_n\leqslant 1$ . Enfin pour  $i\in [\![1,n-1]\!]$ , la déf. 2.23 implique que  $v_i=v_{i+1}$  ou  $v_i< v_{i+1}$ . Dans le premier cas  $(v_i=v_{i+1}), (2.3.18)$  implique  $\sigma(i)<\sigma(i+1)$ , ce qui implique par croissance de  $i\mapsto x_i$  l'inégalité  $x_{\sigma(i)}\leqslant x_{\sigma(i+1)}$ , ce qui combiné avec  $v_i=v_{i+1}$  implique l'inégalité dans  $y_i=(v_i+x_{\sigma(i)})/k\leqslant (v_{i+1}+x_{\sigma(i+1)})/k=y_{i+1}$ , où les égalités extrêmes proviennent des définitions. Dans le second cas  $(v_i< v_{i+1})$ , on a  $y_i=(v_i+x_{\sigma(i)})/k\leqslant (v_i+1)/k\leqslant v_{i+1}/k\leqslant (v_{i+1}+x_{\sigma(i+1)})/k=y_{i+1}$ , où la première et dernière égalité proviennent des définitions, où la première et dernière inégalité proviennent respectivement de  $x_{\sigma(i)}\geqslant 0$  et  $x_{\sigma(i+1)}\leqslant 1$ , et où l'inégalité centrale provient de  $v_i< v_{i+1}$  et du caractère entier des composantes de v. On a donc dans tous les cas  $y_i\leqslant y_{i+1}$ , ce qui achève de montrer que  $(y_1,\ldots,y_n)\in\Delta^n$ . Ceci montre l'énoncé.

On a 
$$c_k(v,\sigma) = [(1/k)(v + \sigma^* E_0^n), \dots, (1/k)(v + \sigma^* E_n^n)]$$
 pour  $(v,\sigma) \in \text{Ens}_n^k$ 

**Définition 2.30.** On note pour  $i \in [0, n]$ ,

$$\hat{c}_i^n := [E_0^n, \dots, E_{n-i-1}^n, E_{n-i+1}^n, \dots, E_n^n] \in \text{Aff}(\Delta^{n-1}, \Delta^n).$$

**Lemme 2.31.**  $\underline{\partial}_i^n$  est l'image de  $\partial_i^n$  par l'application  $\mathrm{Aff}(\Delta^{n-1},\Delta^n) \to \mathbf{Aff}(\mathbb{R}^{n-1},\mathbb{R}^n)$ .

$$D\acute{e}monstration$$
. Immédiat.

Définition 2.32. On note

$$f:\operatorname{Ens}_n^k\times \llbracket 0,n\rrbracket \to \operatorname{Aff}(\Delta^{n-1},\Delta^n), \quad \tilde{f}:\operatorname{Ens}_{n-1}^k\times \llbracket 0,n\rrbracket \to \operatorname{Aff}(\Delta^{n-1},\Delta^n)$$

les applications données par

$$f(v,\sigma,i) := c_k(v,\sigma) \circ \partial_i^n, \quad \tilde{f}(w,\tau,i) := \partial_i^n \circ c_k(w,\tau).$$

Lemme 2.33. Les diagrammes suivants commutent

$$\operatorname{Ens}_{n}^{k} \times \llbracket [0, n] \rrbracket \xrightarrow{f} \operatorname{Aff}(\Delta^{n-1}, \Delta^{n}) \qquad \operatorname{Ens}_{n-1}^{k} \times \llbracket [0, n] \rrbracket \xrightarrow{\tilde{f}} \operatorname{Aff}(\Delta^{n-1}, \Delta^{n})$$

$$\mathbb{Z}^{n} \times \mathfrak{S}_{n} \times \times \llbracket [0, n] \rrbracket \xrightarrow{\underline{f}} \operatorname{Aff}(\mathbb{R}^{n-1}, \mathbb{R}^{n}) \qquad \mathbb{Z}^{n-1} \times \mathfrak{S}_{n-1} \times \times \llbracket [0, n] \rrbracket \xrightarrow{\tilde{f}} \operatorname{Aff}(\mathbb{R}^{n-1}, \mathbb{R}^{n})$$

Démonstration. Cela provient de la compatibilité des applications (2.3.21) avec la composition, du lemme 2.31, et ce que pour  $(v,\sigma) \in \operatorname{Ens}_n^k$  (resp.  $(w,\tau) \in \operatorname{Ens}_{n-1}^k$ ), l'image de  $c_k(v,\sigma)$  (resp.  $c_k(w,\tau)$ ) sous  $\mathrm{Aff}(\Delta^n,\Delta^n)\to\mathbf{Aff}(\mathbb{R}^n,\mathbb{R}^n)$  (resp.  $\mathrm{Aff}(\Delta^{n-1},\Delta^{n-1})\to\mathbf{Aff}(\mathbb{R}^{n-1},\mathbb{R}^{n-1})$ ) est  $\underline{c}_k(v,\sigma)$  (resp.  $\underline{c}_k(w,\tau))$  (cf. lemme 2.29).

# Lemme 2.34. Le diagramme suivant commute

(2.3.22)

$$\operatorname{Ens}_{n-1}^{k} \times \llbracket [0,n] \rrbracket \xrightarrow{\operatorname{bij}} \{x \in \operatorname{Ens}_{n}^{k} \times \llbracket [0,n] \rrbracket | \operatorname{invol}(x) \notin \operatorname{Ens}_{n}^{k} \times \llbracket [0,n] \rrbracket \} \}$$

$$\operatorname{Aff}(\tilde{\Delta}^{n-1}, \Delta^{n}) \times \{\pm 1\}$$

Démonstration. Ceci provient de la commutativité des diagrammes (2.3.17) et (2.3.19) ainsi que du lemme 2.34. 

- 2.4. Construction d'endomorphismes de groupes de chaînes. Les résultats de cette section seront utilisés en section 2.5 afin de montrer le (b) du théorème 2.3.
- 2.4.1. Morphismes dans une catégorie C.

**Définition 2.35.** Soit  $\mathcal{C}$  la petite catégorie dont l'ensemble d'objets est  $\mathbb{Z}_{\geq 0}$ , avec  $\mathcal{C}(n,m) :=$  $\mathbb{Z}$ Top $(\Delta^n, \Delta^m)$ , et dont la composition est donnée par la linéarisation de la composition dans Top.

Toute application affine étant continue, on a une famille de diagrammes

$$Aff(\Delta^n, \Delta^m) \subset C(n, m)$$

pour  $n, m \ge 0$ , compatible avec les compositions d'applications.

**Définition 2.36.** On pose

$$\operatorname{div}_{n}^{k} := \sum_{(v,\sigma) \in \operatorname{Ens}_{n}^{k}} \epsilon(\sigma) c_{k}(v,\sigma) \in \mathbb{Z}\operatorname{Aff}(\Delta^{n}, \Delta^{n}) \subset \mathcal{C}(n,n).$$

Définition 2.37. On note

$$\partial_{n-1,n} := \sum_{i=0}^{n} (-1)^{i} \partial_{i}^{n} \in \mathbb{Z} \mathrm{Aff}(\Delta^{n-1}, \Delta^{n}) \subset \mathcal{C}(n-1, n).$$

On sait que  $\partial_{n,n+1} \circ \partial_{n-1,n} = 0$ . De plus, pour tout  $p \ge 0$ , le complexe  $\cdots \to \mathcal{C}(k,p) \stackrel{-\circ \partial_{k-1,k}}{\to} \mathcal{C}(k-1,p) \to \cdots \to \mathcal{C}(0,p) \to \mathbb{Z} \to 0$  est acyclique (l'homologie de  $\Delta^p$  étant donnée par  $H_k(\Delta^p) = 0$  si k > 0 et  $= \mathbb{Z}$  si k = 0).

2.4.2. Démonstration de  $\operatorname{div}_n^k \circ \partial_{n-1,n} = \partial_{n-1,n} \circ \operatorname{div}_{n-1}^k$ . Dans la section 2.4.2, on fixe  $n,k \geqslant 1$ . On a

(2.4.1) 
$$\operatorname{div}_{n}^{k} \circ \partial_{n-1,n} = \sum_{x \in \operatorname{Ens}_{n}^{k} \times \llbracket 0, n \rrbracket} \operatorname{sgn}(x) f(x).$$

en combinant les défs. 2.9, 2.32, 2.36, 2.37, et

(2.4.2) 
$$\partial_{n-1,n} \circ \operatorname{div}_{n-1}^k = \sum_{\tilde{x} \in \operatorname{Ens}_{n-1}^k \times [\![0,n]\!]} \widetilde{\operatorname{sgn}}(\tilde{x}) \tilde{f}(\tilde{x}).$$

en combinant les défs. 2.17 2.17, 2.32, 2.36, 2.37 (égalités dans  $\mathbb{Z}Aff(\Delta^{n-1},\Delta^n)$ ).

**Proposition 2.38.** On a pour tous  $n, k \ge 1$ 

$$\operatorname{div}_{n}^{k} \circ \partial_{n-1,n} = \partial_{n-1,n} \circ \operatorname{div}_{n-1}^{k}$$

(égalité dans C(n-1,n)).

Démonstration. On a

$$\begin{split} & \sum_{\substack{x \in \operatorname{Ens}_n^k \times [\![0,n]\!] \mid \\ \operatorname{invol}(x) \in \operatorname{Ens}_n^k \times [\![0,n]\!] \\ = - \sum_{\substack{x \in \operatorname{Ens}_n^k \times [\![0,n]\!] \mid \\ \operatorname{invol}(x) \in \operatorname{Ens}_n^k \times [\![0,n]\!] \mid \\ \operatorname{invol}(x) \in \operatorname{Ens}_n^k \times [\![0,n]\!] \\ = - \log_n^k \times [\![0,n]\!] - \log_n^k \times [\![0,n]\!] \end{split}} \operatorname{sgn}(x) f(x) \end{split}$$

où la première égalité suit de ce que invol est une involution de  $\{x \in \operatorname{Ens}_n^k \times [0, n] | \operatorname{invol}(x) \in \operatorname{Ens}_n^k \times [0, n] \}$  (cf. lemme 2.11(a)) et la deuxième égalité suit du lemme 2.11(b) et de la première égalité du lemme 2.33. On en déduit

(2.4.3) 
$$\sum_{\substack{x \in \operatorname{Ens}_n^k \times [\![0,n]\!] \mid \\ \operatorname{invol}(x) \in \operatorname{Ens}_n^k \times [\![0,n]\!]}} \operatorname{sgn}(x) f(x) = 0.$$

Alors

$$\operatorname{div}_{n}^{k} \circ \partial_{n-1,n} = \sum_{x \in \operatorname{Ens}_{n}^{k} \times \llbracket [0,n \rrbracket]} \operatorname{sgn}(x) f(x)$$

$$= \sum_{\substack{x \in \operatorname{Ens}_{n}^{k} \times \llbracket [0,n \rrbracket] \mid \\ \operatorname{invol}(x) \in \operatorname{Ens}_{n}^{k} \times \llbracket [0,n \rrbracket] \mid \\ \operatorname{invol}(x) \in \operatorname{Ens}_{n}^{k} \times \llbracket [0,n \rrbracket]}} \operatorname{sgn}(x) f(x) + \sum_{\substack{x \in \operatorname{Ens}_{n}^{k} \times \llbracket [0,n \rrbracket] \mid \\ \operatorname{invol}(x) \notin \operatorname{Ens}_{n}^{k} \times \llbracket [0,n \rrbracket]}} \operatorname{sgn}(x) f(x)$$

$$= \sum_{\substack{x \in \operatorname{Ens}_{n}^{k} \times \llbracket [0,n \rrbracket] \mid \\ \operatorname{invol}(x) \notin \operatorname{Ens}_{n}^{k} \times \llbracket [0,n \rrbracket]}} \operatorname{sgn}(y) \tilde{f}(y) = \partial_{n-1,n} \circ \operatorname{div}_{n-1}^{k}$$

$$= \sum_{\substack{y \in \operatorname{Ens}_{n-1}^{k} \times \llbracket [0,n \rrbracket]}} \widetilde{\operatorname{sgn}}(y) \tilde{f}(y) = \partial_{n-1,n} \circ \operatorname{div}_{n-1}^{k}$$

(égalité dans  $\mathbb{Z}Aff(\Delta^{n-1},\Delta^n)$ ) où la première égalité suit de (2.4.1), la troisième égalité suit de (2.4.3), la quatrième égalité suit du lemme 2.25, la cinquième égalité suit du lemme 2.20 et des deux égalités du lemme 2.33, la sixième égalité suit de (2.4.2).

On en déduit l'égalité annoncée, les applications  $\mathrm{Aff}(\Delta^n,\Delta^m)\to\mathcal{C}(n,m)$  étant compatibles aux compositions.

2.4.3. Relation dans C entre  $\operatorname{div}_{\bullet}^{k}$  et  $id_{\bullet}$ .

**Lemme 2.39.** Pour tout  $k \ge 0$ , il existe une famille  $(L_{n+1,n}^k)_{n \ge 0}$  avec  $L_{n+1,n}^k \in \mathcal{C}(n+1,n)$ , telle que pour tout  $n \ge 0$ , on a

(2.4.4) 
$$id_n - div_n^k = L_{n+1,n}^k \circ \partial_{n,n+1} + \partial_{n-1,n} \circ L_{n,n-1}^k.$$

Démonstration. Montrons par récurrence sur  $n \ge 0$  l'existence d'une famille  $(L_{m+1}^k)_{m \le n}$  telle que pour tout  $m \leq n$ , on a  $\mathrm{id}_n - \mathrm{div}_n^k = L_{n+1,n}^k \circ \partial_{n,n+1} + \partial_{n-1,n} \circ L_{n,n-1}^k$  (énoncé E(n)).

Posons  $L_{1,0}^k := 0$ , alors on a  $\mathrm{id}_0 - \mathrm{div}_0^k = L_{1,0}^k \circ \partial_{0,1}$  d'où l'énoncé E(0).

Soit  $n \ge 1$ , et supposons E(n-1) vérifié avec une famille  $(L_{m+1,m}^k)_{m \le n-1}$ . Alors

$$(\mathrm{id}_{n} - \mathrm{div}_{n}^{k} - \partial_{n-1,n} \circ L_{n,n-1}^{k}) \circ \partial_{n-1,n} = \partial_{n-1,n} - \mathrm{div}_{n}^{k} \circ \partial_{n-1,n} - \partial_{n-1,n} \circ L_{n,n-1}^{k} \circ \partial_{n-1,n}$$

$$= \partial_{n-1,n} - \partial_{n-1,n} \circ \mathrm{div}_{n-1}^{k} - \partial_{n-1,n} \circ L_{n,n-1}^{k} \circ \partial_{n-1,n} = \partial_{n-1,n} \circ (\mathrm{id}_{n-1} - \mathrm{div}_{n-1}^{k} - L_{n,n-1}^{k} \circ \partial_{n-1,n})$$

$$= \partial_{n-1,n} \circ (\mathrm{id}_{n-1} - \mathrm{div}_{n-1}^{k} - L_{n,n-1}^{k} \circ \partial_{n-1,n} - \partial_{n-2,n-1} \circ L_{n-1,n-2}^{k}) = \partial_{n-1,n} \circ 0 = 0$$

où la seconde égalité suit de la proposition 2.38, la quatrième égalité suit de  $\partial_{n-1,n} \circ \partial_{n-2,n-1} =$ 0, la cinquième égalité suit de E(n-1).

Donc  $\operatorname{id}_n - \operatorname{div}_n^k - \partial_{n-1,n} \circ L_{n,n-1}^k$  appartient au noyau de l'application  $-\circ \partial_{n-1,n} : \mathcal{C}(n,n) \to \mathbb{C}(n,n)$  $\mathcal{C}(n-1,n)$ , qui par acyclicité est égal à l'image de l'application  $-\circ \partial_{n,n+1}: \mathcal{C}(n+1,n) \to \mathcal{C}(n,n)$ . Il existe donc  $L_{n+1,n}^k \in \mathcal{C}(n+1,n)$  tel que  $\mathrm{id}_n - \mathrm{div}_n^k - \partial_{n-1,n} \circ L_{n,n-1}^k = L_{n+1,n}^k \circ \partial_{n,n+1}$ , ce qui implique E(n).

2.4.4. Endomorphismes de groupes de chaînes singulières. Soit X un espace topologique. Pour  $n \geq 0$ , on note  $C_n(X) := \mathbb{Z} \mathbf{Top}(\Delta^n, X)$ . Pour  $n, m \geq 0$ , on a une application  $C_n(X) \times \mathbb{Z}$  $C(m,n) \to C_m(X)$  induite par la composition  $(c,x) \mapsto c \circ x$ .

**Définition 2.40.** Pour  $x \in \mathcal{C}(m, n)$ , on note  $x^* : C_n(X) \to C_m(X)$  l'application  $c \mapsto c \circ x$ .

Alors  $(x \circ y)^* = y^* \circ x^*$ .

**Lemme 2.41.** Si Y est un sous-ensemble de X, on a  $x^*(C_n(Y)) \subset C_m(Y)$ .

 $D\acute{e}monstration$ . Provient de ce que  $x^*$  est une composition à la source.

De plus pour  $n \ge 1$ ,  $\partial_{n-1,n}^* : C_n(X) \to C_{n-1}(X)$  coïncide avec la différentielle singulière  $\partial_n$ . Alors (2.4.4) implique

$$(2.4.5) id_{C_n(X)} - (\operatorname{div}_n^k)^* = \partial_{n,n+1}^* \circ (L_{n+1,n}^k)^* + (L_{n,n-1}^k)^* \circ \partial_{n-1,n}^*$$

(égalité d'endomorphismes de  $C_n(X)$ ) pour tout  $n \ge 0$ .

- 2.5. **Démonstration de (b) du théorème 2.3.** On se place dans le cadre de la section 2.1: X est un espace topologique et  $a, b \in X$ .
- 2.5.1. Composition de chemins.

**Définition 2.42.** Si  $s, t, u, v \in \mathbb{R}$  avec  $s \neq t$ , on note  $a_{s,t}^{u,v}$  l'unique application affine de  $\mathbb{R}$  dans lui-même telle que  $s \mapsto u$  et  $t \mapsto v$ .

Soit X un espace topologique, soit  $a_0, \ldots, a_m \in X$  et  $\tilde{\gamma}_i \in \text{Chem}(a_i, a_{i+1})$  pour  $i \in [0, m-1]$ .

**Définition 2.43.**  $\tilde{\gamma}_{m-1} * ... * \tilde{\gamma}_0 \in \text{Chem}(a_0, a_m)$  est le chemin tel que pour pour  $i \in [0, m-1]$ , la restriction  $(\tilde{\gamma}_{m-1} * ... * \tilde{\gamma}_0)_{|[i/m,(i+1)/m]}$  à [i/m,(i+1)/m] coïncide avec  $\tilde{\gamma}_i \circ a_{i/m,(i+1)/m}^{0,1}$  (conditions cohérentes car  $\tilde{\gamma}_i(1) = \tilde{\gamma}_{i+1}(0)$  pour  $i \in [0, m-2]$ ).

On a alors, en notant [-] l'application canonique  $\operatorname{Chem}(a,b) \to \pi_1(X;a,b)$  pour  $a,b \in X$  quelconques, l'égalité

$$[\tilde{\gamma}_{n-1} * \dots * \tilde{\gamma}_0] = [\tilde{\gamma}_{n-1}] \cdots [\tilde{\gamma}_0]$$

(égalité dans  $\pi_1(X; a_0, a_m)$ , le produit dans le membre de droite étant celui dans le groupoïde  $\pi_1(X)$ ).

2.5.2. Calcul de  $(\operatorname{div}_n^k)^*((\tilde{\gamma}_k * \cdots * \tilde{\gamma}_1)^{(n)})$ .

Lemme 2.44. Il existe une unique application

$$(2.5.2) \{(n_1, \dots, n_k) | n_1 \ge 0, \dots, n_k \ge 0 \text{ et } n_1 + \dots + n_k = n\} \to [0, k-1]^n$$

qui envoie  $(n_1, \ldots, n_k)$  vers l'élément  $v \in [0, k-1]^n$  tel que pour  $i = 0, \ldots, k-1$  on a  $v_{|n_1+\cdots+n_i+\lfloor 1,n_{i+1}\rfloor} = i$ . Cette application est bijective, et la bijection réciproque envoie  $v \in [0, k-1]^n$  vers  $(n_1, \ldots, n_k)$  donné par  $n_i = |v^{-1}(i-1)|$  pour  $i \in [1, k]$ .

Démonstration. Immédiate.

**Définition 2.45.** Pour  $v \in [0, k-1]^n$ , on pose  $\mathfrak{S}(v) := \{\sigma \in \mathfrak{S}_n | (v, \sigma) \in \operatorname{Ens}_n^k \}$  (cf. déf. 2.23).

**Lemme 2.46.** Si  $(n_1, ..., n_k) \in \{(n_1, ..., n_k) | n_1 \ge 0, ..., n_k \ge 0 \text{ et } n_1 + \cdots + n_k = n\}$  et si v est l'image de  $(n_1, ..., n_k)$  par la bijection (2.5.2), alors on a  $\mathfrak{S}_{n_1, ..., n_k} = \mathfrak{S}(v)$ .

Démonstration. L'application  $v : [\![1,n]\!] \to [\![0,k-1]\!]$  étant constante sur chaque sous-ensemble  $n_1 + \cdots + n_i + [\![1,n_{i+1}]\!]$  et les valeurs prises sur des sous-ensembles consécutifs étant strictement croissantes, on a pour  $i \in [\![1,n]\!]$  l'équivalence

$$(2.5.3) (v_i < v_{i+1}) \iff (i \in \{n_1, n_1 + n_2, \dots, n_1 + \dots + n_{k-1}\}).$$

Soit alors  $\sigma \in \mathfrak{S}_n$ . On a  $\sigma \in \mathfrak{S}(v)$  si et seulement si

$$\forall i \in [[1, n]], \quad (\sigma(i) > \sigma(i+1)) \implies (v_i < v_{i+1});$$

d'après (2.5.3) une condition équivalente est

$$\forall i \in [[1, n]], \quad (\sigma(i) > \sigma(i+1)) \implies (i \in \{n_1, n_1 + n_2, \dots, n_1 + \dots + n_{k-1}\}).$$

Donc  $\sigma \in \mathfrak{S}(v)$  si et seulement si  $\sigma$  est croissante sur les sous-ensembles  $[\![1, n_1]\!], n_1 + [\![1, n_2]\!],$  etc.,  $n_1 + \dots + n_{k-1} + [\![1, n_k]\!],$  c'est à dire si et seulement si  $\sigma \in \mathfrak{S}_{n_1, \dots, n_k}$ .

**Définition 2.47.** On pose  $\widetilde{\operatorname{Ens}}_n^k := \{((n_1, \dots, n_k), \sigma) | n_1 \ge 0, \dots, n_k \ge 0 \text{ et } n_1 + \dots + n_k = n \text{ et } \sigma \in \mathfrak{S}_{n_1, \dots, n_k} \}.$ 

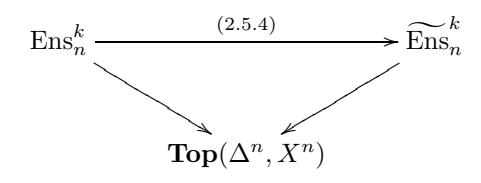
Lemme 2.48. Il existe une unique bijection

qui envoie  $((n_1,\ldots,n_k),\sigma)$  vers  $(v,\sigma)$ , où v est l'image de  $(n_1,\ldots,n_k)$  par (2.5.2).

Démonstration. Conséquence des lemmes 2.44 et 2.46.

Notons que pour  $n_1 + \cdots + n_k = n$  et  $\sigma \in \mathfrak{S}_{n_1,\dots,n_k}$ , l'automorphisme de  $[0,1]^n$  dans la catégorie **Top** donné par  $\sigma^*$  induit un élément, noté encore  $\sigma^*$  de  $\mathbf{Top}(\Delta^n, \Delta^{n_1} \times \dots \times \Delta^{n_k})$ . Par ailleurs,  $\tilde{\gamma}_1^{n_1} \times \dots \times \tilde{\gamma}_k^{n_k} \in \mathbf{Top}(\Delta^{n_1} \times \dots \times \Delta^{n_k}, X^n)$ , donc  $(\tilde{\gamma}_1^{n_1} \times \dots \times \tilde{\gamma}_k^{n_k}) \circ \sigma^* \in \mathbf{Top}(\Delta^n, X^n)$ .

**Lemme 2.49.** Les applications  $\operatorname{Ens}_n^k \to \operatorname{Top}(\Delta^n, X^n)$  et  $\widetilde{\operatorname{Ens}}_n^k \to \operatorname{Top}(\Delta^n, X^n)$  données respectivement par  $((n_1, \ldots, n_k), \sigma) \mapsto (\tilde{\gamma}_1^{(n_1)} \times \cdots \times \tilde{\gamma}_k^{(n_k)}) \circ \sigma^*$  et  $(v, \sigma) \mapsto \tilde{\gamma}^{(n)} \circ c(v, \sigma)$  sont telles que le diagramme



est commutatif.

Démonstration. Soit  $((n_1, \ldots, n_k), \sigma) \in \operatorname{Ens}_n^k$  et  $(v, \sigma) \in \widetilde{\operatorname{Ens}}_n^k$  son image par (2.5.4). Posons  $\delta_m := (1, \ldots, 1) \in \mathbb{R}^m$  pour  $m \ge 1$ . Alors pour  $(x_1, \ldots, x_n) \in \Delta^n$ , on a

$$\tilde{\gamma}^{(n)} \circ c(v,\sigma)(x_1,\ldots,x_n)$$

$$\begin{split} &= \tilde{\gamma}^{(n)} \bigg( (x_{\sigma(1)}, \dots, x_{\sigma(n_1)}) / k, (\delta_{n_2} + (x_{\sigma(n_1+1)}, \dots, x_{\sigma(n_1+n_2)})) / k, \dots, ((k-1)\delta_{n_k} + (x_{\sigma(n_1+\dots+n_{k-1}+1)}, \dots, x_{\sigma(n)})) / k \bigg) \\ &= \bigg( \tilde{\gamma}^{n_1} \bigg( (x_{\sigma(1)}, \dots, x_{\sigma(n_1)}) / k \bigg), \tilde{\gamma}^{n_2} \bigg( (\delta_{n_2} + (x_{\sigma(n_1+1)}, \dots, x_{\sigma(n_1+n_2)})) / k \bigg), \dots, \tilde{\gamma}^{n_k} \bigg( ((k-1)\delta_{n_k} + (x_{\sigma(n_1+\dots+n_{k-1}+1)}, \dots, x_{\sigma(n)})) / k \bigg) \bigg) \\ &= \bigg( \tilde{\gamma}^{n_1}_1 \big( x_{\sigma(1)}, \dots, x_{\sigma(n_1)} \big), \tilde{\gamma}^{n_2}_2 \big( x_{\sigma(n_1+1)}, \dots, x_{\sigma(n_1+n_2)} \big) \bigg), \dots, \tilde{\gamma}^{n_k}_k \big( x_{\sigma(n_1+\dots+n_{k-1}+1)}, \dots, x_{\sigma(n)} \big) \bigg) \bigg) \\ &= \bigg( \tilde{\gamma}^{(n_1)}_1 \big( x_{\sigma(1)}, \dots, x_{\sigma(n_1)} \big), \tilde{\gamma}^{(n_2)}_2 \big( x_{\sigma(n_1+1)}, \dots, x_{\sigma(n_1+n_2)} \big), \dots, \tilde{\gamma}^{(n_k)}_k \big( x_{\sigma(n_1+\dots+n_{k-1}+1)}, \dots, x_{\sigma(n)} \big) \bigg) \bigg) \\ &= \bigg( \tilde{\gamma}^{(n_1)}_1 \big( x_{\sigma(1)}, \dots, x_{\sigma(n_1)} \big), \tilde{\gamma}^{(n_2)}_2 \big( x_{\sigma(n_1+1)}, \dots, x_{\sigma(n_1+n_2)} \big), \dots, \tilde{\gamma}^{(n_k)}_k \big( x_{\sigma(n_1+\dots+n_{k-1}+1)}, \dots, x_{\sigma(n)} \big) \bigg) \bigg) \\ &= \bigg( \tilde{\gamma}^{(n_1)}_1 \big( x_{\sigma(1)}, \dots, x_{\sigma(n_1)} \big), \tilde{\gamma}^{(n_2)}_2 \big( x_{\sigma(n_1+1)}, \dots, x_{\sigma(n_1+n_2)} \big), \dots, \tilde{\gamma}^{(n_k)}_k \big( x_{\sigma(n_1+\dots+n_{k-1}+1)}, \dots, x_{\sigma(n)} \big) \bigg) \bigg) \end{split}$$

où la première égalité suit de ce que  $c(v,\sigma)$  est l'application de  $\Delta^n$  dans lui-même donnée par

$$(x_1,\ldots,x_n)\mapsto$$

$$((x_{\sigma(1)},\ldots,x_{\sigma(n_1)})/k,(\delta_{n_2}+(x_{\sigma(n_1+1)},\ldots,x_{\sigma(n_1+n_2)}))/k,\ldots,((k-1)\delta_{n_k}+(x_{\sigma(n_1+\cdots+n_{k-1}+1)},\ldots,x_{\sigma(n)}))/k),$$

la deuxième égalité suit de la combinaison du fait que  $\tilde{\gamma}^{(n)}$  est une restriction de  $\tilde{\gamma}^n$  et de l'égalité  $\tilde{\gamma}^n = \tilde{\gamma}^{n_1} \times \cdots \times \tilde{\gamma}^{n_k}$ , la troisième égalité suit de l'identité  $\tilde{\gamma}((i-1+x)/k) = \tilde{\gamma}_i(x)$  pour  $x \in [0,1]$  et  $i \in [1,k]$ , la quatrième égalité suit des relations  $(x_{\sigma(1)},\ldots,x_{\sigma(n_1)}) \in \Delta^{n_1}$ , etc.,  $(x_{\sigma(n_1+\cdots+n_{k-1}+1)},\ldots,x_{\sigma(n)}) \in \Delta^{n_k}$ , elles-mêmes conséquences de  $\sigma \in \mathfrak{S}_{n_1,\ldots,n_k}$ , la dernière égalité suit de la définition de  $\sigma^*$  (cf. section 2.5.2). On a donc  $\tilde{\gamma}^{(n)} \circ c(v,\sigma) = (\tilde{\gamma}_1^{(n_1)} \times \cdots \times \tilde{\gamma}_k^{(n_k)}) \circ \sigma^*$  (égalité dans  $\mathbf{Top}(\Delta^n,X^n)$ ).

**Proposition 2.50.** Si  $a_1, \ldots, a_{k+1} \in X$  et  $\tilde{\gamma}_i \in \text{Chem}(a_i, a_{i+1})$  pour  $i \in [1, k]$ . Alors

$$(\operatorname{div}_{n}^{k})^{*}((\tilde{\gamma}_{k}*\cdots*\tilde{\gamma}_{1})^{(n)}) = \sum_{\substack{n_{1},\ldots,n_{k}\geqslant 0|\\n_{1}+\cdots+n_{k}=n}} \sum_{\sigma\in\mathfrak{S}_{n_{1},\ldots,n_{k}}} \epsilon(\sigma)(\tilde{\gamma}_{1}^{(n_{1})}\times\cdots\times\tilde{\gamma}_{k}^{(n_{k})})\circ\sigma^{*}$$

(égalité dans  $C_n(X^n) = \mathbb{Z}\mathbf{Top}(\Delta^n, X^n)$ ).

Démonstration. On a

$$(\operatorname{div}_{n}^{k})^{*}((\tilde{\gamma}_{k} * \cdots * \tilde{\gamma}_{1})^{(n)}) = (\tilde{\gamma}_{k} * \cdots * \tilde{\gamma}_{1})^{(n)} \circ \operatorname{div}_{n}^{k} = \sum_{(\sigma, v) \in \operatorname{Ens}_{n}^{k}} \epsilon(\sigma)(\tilde{\gamma}_{k} * \cdots * \tilde{\gamma}_{1})^{(n)} \circ c(\sigma, v)$$

$$= \sum_{\substack{n_{1}, \dots, n_{k} \geqslant 0 \mid \sigma \in \mathfrak{S}_{n_{1}, \dots, n_{k}} \\ n_{1} + \dots + n_{k} = n}} \sum_{\sigma \in \mathfrak{S}_{n_{1}, \dots, n_{k}}} \epsilon(\sigma)(\tilde{\gamma}_{1}^{(n_{1})} \times \cdots \times \tilde{\gamma}_{k}^{(n_{k})}) \circ \sigma^{*}$$

où la première égalité suit de la déf. 2.40, la deuxième égalité suit de la déf. 2.36, et la troisième suit du lemme 2.49.

2.5.3. Une égalité dans  $C_n(X^n)$ . On fixe  $\tilde{\gamma} \in \text{Chem}(a,b)$  et  $\alpha_0, \ldots, \alpha_n \in \text{Chem}(a,a)$ . On note pour  $I \subset [\![0,n]\!], c_I := (\tilde{\gamma} * *_{i \in I} \tilde{\alpha}_i)^{(n)} \in C_n(X^n)$ . En appliquant (2.4.5) à  $c_I$  (X étant remplacé par  $X^n$  et k par |I| + 1), on trouve

$$(2.5.5) c_I - (\operatorname{div}_n^{|I|+1})^*(c_I) = (\hat{c}_{n,n+1}^* \circ (L_{n+1,n}^{|I|+1})^* + (L_{n,n-1}^{|I|+1})^* \circ \hat{c}_{n-1,n}^*)(c_I)$$

(relation dans  $C_n(X^n)$ ). On a  $\partial_{n-1,n}^*(c_I) \in C_{n-1}(Y_{ab}^{(n)})$  par le lemme 2.2, le lemme 2.41 implique alors que  $(L_{n,n-1}^{|I|+1})^* \circ \partial_{n-1,n}^*(c_I) \in C_n(Y_{ab}^{(n)})$ . D'autre part,  $(L_{n+1,n}^{|I|+1})^*(c_I) \in C_{n+1}(X^n)$ , donc  $\partial_{n,n+1}^* \circ (L_{n+1,n}^{|I|+1})^*(c_I) \in \partial_{n,n+1}^*(C_{n+1}(X^n))$ . Ces deux relations et (2.5.5) impliquent

$$\forall I \subset [0, n], \quad c_I - (\operatorname{div}_n^{|I|+1})^*(c_I) \in C_n(Y_{ab}^{(n)}) + \partial_{n,n+1}^*(C_{n+1}(X^n))$$

(relation dans  $C_n(X^n)$ ). Cette relation implique  $\sum_{I \subset \llbracket 0, n \rrbracket} (-1)^{|I|} (c_I - (\operatorname{div}_n^{|I|+1})^*(c_I)) \in C_n(Y_{ab}^{(n)}) + C_n(Y_{ab}^{(n)})$  $\partial_{n,n+1}^*(C_{n+1}(X^n))$  donc

$$(2.5.6) \qquad \sum_{I \subset \llbracket 0, n \rrbracket} (-1)^{|I|} c_I - \sum_{I \subset \llbracket 0, n \rrbracket} (-1)^{|I|} (\operatorname{div}_n^{|I|+1})^* (c_I) \in C_n(Y_{ab}^{(n)}) + \partial_{n, n+1}^* (C_{n+1}(X^n)).$$

(relation dans  $C_n(X^n)$ )

**Lemme 2.51.** On a  $\sum_{I \subset [0,n]} (-1)^{|I|} (\operatorname{div}_n^{|I|+1})^* (c_I) = 0$  (égalité dans  $C_n(X^n)$ ).

Démonstration. Pour  $\nu_0, \dots, \nu_{n+1} \ge 0$  avec  $\nu_0 + \dots + \nu_{n+1} = n$ , posons

$$(2.5.7) f(\nu_0, \dots, \nu_{n+1}) := \sum_{\sigma \in \mathfrak{S}_{\nu_0, \dots, \nu_{n+1}}} \epsilon(\sigma) (\tilde{\alpha}^{(\nu_0)} \times \dots \times \tilde{\alpha}^{(\nu_n)} \times \tilde{\gamma}^{(\nu_{n+1})}) \circ \sigma^* \in C_n(X^n).$$

Soit  $I \subset [0, n]$ . Soit  $\alpha \mapsto i_{\alpha}$  l'unique bijection croissante  $[1, |I|] \to I$ . On a les égalités

$$(\operatorname{div}_{n}^{|I|+1})^{*}(c_{I}) = \sum_{\substack{\nu: I \sqcup \{n+1\} \to \mathbb{Z}_{\geq 0}, \ \sigma \in \mathfrak{S}_{\nu(i_{1}), \dots, \nu(i_{|I|}), \nu(n+1)} \\ \sum_{x \in I \sqcup \{n+1\}} \nu(x) = n}} \sum_{\sigma \in \mathfrak{S}_{\nu(i_{1}), \dots, \nu(i_{|I|}), \nu(n+1)}} \epsilon(\sigma) (\tilde{\alpha}_{i_{1}}^{(\nu(i_{1}))} \times \cdots \times \tilde{\alpha}_{i_{|I|}}^{(\nu(i_{|I|}))} \times \tilde{\gamma}^{(\nu(n+1))}) \circ \sigma^{*}(\sigma) (\tilde{\alpha}_{i_{1}}^{(\nu(i_{1}))}) = 0$$

$$(\operatorname{div}_{n}^{|I|+1})^{*}(c_{I}) = \sum_{\substack{\nu: I \sqcup \{n+1\} \to \mathbb{Z}_{\geq 0}, \ \sigma \in \mathfrak{S}_{\nu(i_{1}), \dots, \nu(i_{|I|}), \nu(n+1)} \\ \sum_{x \in I \sqcup \{n+1\}} \nu(x) = n}} \sum_{\substack{\sigma \in \mathfrak{S}_{\nu(i_{1}), \dots, \nu(i_{|I|}), \nu(n+1)} \\ \sum_{x \in I \sqcup \{n+1\}} \nu(x) = n}} \epsilon(\sigma) (\tilde{\alpha}_{i_{1}}^{(\nu(i_{1}))} \times \cdots \times \tilde{\alpha}_{i_{|I|}}^{(\nu(i_{|I|}))} \times \tilde{\gamma}^{(\nu(n+1))}) \circ \sigma^{*}$$

$$= \sum_{\substack{\nu_{0}, \dots, \nu_{n+1} \geq 0 | \\ \nu_{0} + \dots + \nu_{n+1} = n, \\ \nu_{|[[0,n]]-I} = 0}} \sum_{\substack{\sigma \in \mathfrak{S}_{\nu_{0}, \dots, \nu_{n+1}} \geq 0 | \\ \nu_{0} + \dots + \nu_{n+1} = n, \\ \nu_{|[[0,n]]-I} = 0}} f(\nu_{0}, \dots, \nu_{n+1})$$

dans  $C_n(X^n)$  où la première égalité suit de la proposition 2.50, et la deuxième égalité utilise la bijection entre applications  $I \sqcup \{n+1\} \to \mathbb{Z}_{\geq 0}$  et applications  $[0, n+1] \to \mathbb{Z}_{\geq 0}$  nulles sur [0,n]-I fournie par l'extension par la fonctions nulle, et la troisième égalité suit de (2.5.7).

Alors

$$\sum_{I \subset \llbracket [0,n \rrbracket]} (-1)^{|I|} (\operatorname{div}_{n}^{|I|+1})^{*}(c_{I}) = \sum_{I \subset \llbracket [0,n \rrbracket]} \sum_{\substack{\nu_{0}, \dots, \nu_{n+1} \geqslant 0 | \\ \nu_{0} + \dots + \nu_{n+1} = n, \\ \nu_{\|[0,n]\|-I} = 0}} (-1)^{|I|} f(\nu_{0}, \dots, \nu_{n+1})$$

$$= \sum_{\substack{\nu_{0}, \dots, \nu_{n+1} \geqslant 0 | \\ \nu_{0} + \dots + \nu_{n+1} = n}} \sum_{\substack{\{x \in \llbracket [0,n \rrbracket] | \nu_{x} \neq 0\} \subset I \subset \llbracket [0,n \rrbracket] \\ \nu_{0} + \dots + \nu_{n+1} = n}} (-1)^{|I|} f(\nu_{0}, \dots, \nu_{n+1})$$

$$= \sum_{\substack{\nu_{0}, \dots, \nu_{n+1} \geqslant 0 | \\ \nu_{0} + \dots + \nu_{n+1} = n}} f(\nu_{0}, \dots, \nu_{n+1}) \sum_{\substack{\{x \in \llbracket [0,n \rrbracket] | \nu_{x} \neq 0\} \subset I \subset \llbracket [0,n \rrbracket] \\ \nu_{0} \neq 0}} (-1)^{|I|}$$

$$(2.5.9)$$

où la première égalité suit de (2.5.8), la deuxième égalité suit de l'équivalence entre les conditions  $\nu_{| \llbracket 0, n \rrbracket - I} = 0$  et  $I \supset \{x \in \llbracket 0, n \rrbracket | \nu_x \neq 0\}$  et la troisième égalité est une factorisation.

Pour tout  $(\nu_0, \dots, \nu_{n+1}) \in \mathbb{Z}_{\geq 0}^{n+1}$  tel que  $\nu_0 + \dots + \nu_{n+1} = n$ , on a

$$(2.5.10) \qquad \sum_{\{x \in [\![0,n]\!] \mid \nu_x \neq 0\} \subset I \subset [\![0,n]\!]} (-1)^{|I|} = (-1)^{|\{x \in [\![0,n]\!] \mid \nu_x \neq 0\}|} \sum_{J \subset \{x \in [\![0,n]\!] \mid \nu_x = 0\}} (-1)^{|J|} = 0$$

où la première égalité suit de la bijection entre l'ensemble des I tels que  $\{x \in [0,n] | \nu_x \neq 0\} \subset I \subset [0,n]$  et l'ensemble des parties J de  $\{x \in [0,n] | \nu_x = 0\}$  fournie par  $J \mapsto J \cup \{x \in [0,n] | \nu_x \neq 0\}$ , et la seconde égalité suit de l'identité  $\sum_{X \subset E} (-1)^{|X|} = 0$  pour tout ensemble fini non vide E, ainsi que de  $\{x \in [0,n] | \nu_x = 0\} \neq \emptyset$ , qui résulte de  $(\nu_0,\ldots,\nu_{n+1}) \in \mathbb{Z}_{\geq 0}^{n+1}$  et  $\nu_0 + \cdots + \nu_{n+1} = n$ . En combinant (2.5.10) et (2.5.9), on obtient  $\sum_{I \subset [0,n]} (-1)^{|I|} (\operatorname{div}_n^{|I|+1})^*(c_I) = 0$ .

2.5.4. Démonstration de (b) du théorème 2.3. Le lemme 2.51 et (2.5.6) impliquent

$$\sum_{I \subset [\![0,n]\!]} (-1)^{|I|} c_I \in C_n(Y_{ab}^{(n)}) + \partial_{n,n+1}^*(C_{n+1}(X^n))$$

(relation dans  $C_n(X^n)$ ) c'est-à-dire

(2.5.11) 
$$\sum_{I \subset [0,n]} (-1)^{|I|} (\tilde{\gamma} * *_{i \in I} \tilde{\alpha}_i)^{(n)} \in C_n(Y_{ab}^{(n)}) + \partial_{n,n+1}^* (C_{n+1}(X^n))$$

(relation dans  $C_n(X^n)$ ). Chaque  $c_I = (\tilde{\gamma} * *_{i \in I} \tilde{\alpha}_i)^{(n)}$  appartient au sous-espace  $Z_n(X^n, Y_{ab}^{(n)}) = \{c \in C_n(X^n) | \hat{\sigma}_{n-1,n}^*(c) \in C_{n-1}(Y_{ab}^{(n)})\} \subset C_n(X^n)$ , donc (2.5.11) peut être vue comme une relation dans  $Z_n(X^n, Y_{ab}^{(n)})$ . Elle implique la relation

(2.5.12) 
$$\sum_{I \subset [0,n]} (-1)^{|I|} [(\tilde{\gamma} * *_{i \in I} \tilde{\alpha}_i)^{(n)}] = 0$$

(égalité dans  $H_n(X^n, Y_{ab}^{(n)}) = Z^n(X^n, Y_{ab}^{(n)})/B_n(X^n, Y_{ab}^{(n)})$ , avec  $B_n(X^n, Y_{ab}^{(n)}) = C_n(Y_{ab}^{(n)}) + \partial_{n,n+1}^*(C_{n+1}(X^n))$ .

Pour  $I \subset [0, n]$ , on a

$$[(\tilde{\gamma} * *_{i \in I} \tilde{\alpha}_i)^{(n)}] = F_n([\tilde{\gamma} *_{i \in I} \tilde{\alpha}_i]) = F_n(\gamma \cdot \prod_{i \in I} \alpha_i)$$

(égalité dans  $H_n(X^n, Y_{ab}^{(n)})$ ) où la première égalité suit de (2.1.1) et deuxième suit de ((2.5.1)). En combinant cette égalité avec (2.5.12), on en déduit l'égalité souhaitée

$$\sum_{I \subset \llbracket 0,n \rrbracket} (-1)^{|I|} F_n(\gamma \cdot \prod_{i \in I} \alpha_i) = 0$$

(égalité dans  $H_n(X^n, Y_{ab}^{(n)})$ ).

#### 3. Lien avec l'isomorphisme de Beilinson

Le but de cette section est la démonstration de la proposition 3.1, qui relie l'application  $\overline{F}_{xy}^{(n)}$  obtenue dans le théorème 2.3 avec l'isomorphisme (0.0.1) de Beilinson. On rappelle la construction de cet isomorphisme en section 3.1, puis on montre la proposition 3.1 en section 3.2.

3.1. Rappels sur l'isomorphisme de Beilinson. Soit M une variété différentiable connexe, ayant le type d'homotopie d'un CW-complexe fini et  $n \ge 1$ . Dans [DG], §3.3 (voir aussi [BGFr], p. 251), on associe à chaque couple (x,y) d'éléments de M un complexe de faisceaux de  $\mathbb{Q}$ -espaces vectoriels  ${}_{y}\mathcal{K}_{x}\langle n\rangle$  sur  $M^{n}$  et une application linéaire surjective  $\mathbb{H}^{\bullet}(M^{n},_{x}\mathcal{K}_{x}\langle n\rangle) \to \mathbb{Q}$ . On a les isomorphismes de  $\mathbb{Q}$ -espaces vectoriels

$$H^{\bullet}(M^n, Y_{yx}^{(n)}; \mathbb{Q}) \simeq H^{\bullet}(M^n, y \mathcal{K}_x \langle n \rangle) \text{ si } x \neq y,$$

([BGFr], deux lignes avant (3.282)) et

$$H^{\bullet}(M^n, Y_{xx}^{(n)}; \mathbb{Q}) \simeq \operatorname{Ker}(\mathbb{H}^{\bullet}(M^n, \mathcal{K}_x\langle n \rangle) \to \mathbb{Q}),$$

([BGFr], (3.284)), où  $H^{\bullet}(-,-;\mathbb{Q})$  désigne l'homologie singulière relative à coefficients dans  $\mathbb{Q}$  des paires d'espaces topologiques et  $\mathbb{H}^{\bullet}$  l'hypercohomologie des complexes de faisceaux.

Le théorème de Beilinson (Proposition 3.4 de [DG], ou Theorem 3.298 de [BGFr]) dit qu'il y a un isomorphisme de Q-espaces vectoriels

$$\underline{\beta}_{ux}^{(n)}: \mathbb{H}^{\bullet}(M^n, {}_{y}\mathcal{K}_x\langle n\rangle) \to (\mathbb{Q}\pi_1(x, y)/\mathbb{Q}\pi_1(x, y)(\mathbb{Q}\pi_1(x))_+^{n+1})^*$$

s'insérant pour y = x dans le diagramme commutatif

$$\mathbb{H}^{\bullet}(M^{n},_{x}\mathcal{K}_{\underline{x}}\langle n \rangle) \xrightarrow{} (\mathbb{Q}\pi_{1}(x)/(\mathbb{Q}\pi_{1}(x))^{n+1})^{*}$$

l'application  $(\mathbb{Q}\pi_1(x)/(\mathbb{Q}\pi_1(x))_+^{n+1})^* \to \mathbb{Q}$  étant duale de l'application  $\mathbb{Q} \to \mathbb{Q}\pi_1(x)/(\mathbb{Q}\pi_1(x))_+^{n+1}$  induite par  $1 \mapsto 1$ .

On en déduit pour tout (x, y) une application linéaire

(3.1.1) 
$$\beta_{yx}^{(n)} : \mathrm{H}^{\bullet}(M^{n}, Y_{yx}^{(n)}; \mathbb{Q}) \to (\mathbb{Q}\pi_{1}(x, y)/\mathbb{Q}\pi_{1}(x, y)(\mathbb{Q}\pi_{1}(x))_{+}^{n+1})^{*},$$

qui est un isomorphisme si  $y \neq x$ , et qui induit un isomorphisme

$$\operatorname{H}^{\bullet}(M^{n}, Y_{xx}^{(n)}; \mathbb{Q}) \xrightarrow{\sim} \operatorname{Ker}((\mathbb{Q}\pi_{1}(x)/(\mathbb{Q}\pi_{1}(x))_{+}^{n+1})^{*} \to \mathbb{Q})$$

si y = x.

3.2. Relation du théorème 2.3 avec l'isomorphisme de Beilinson. Notons  $\theta$  l'involution de  $M^n$  donnée par  $(x_1,\ldots,x_n)\mapsto (x_n,\ldots,x_1)$ . L'image de  $Y^{(n)}_{yx}$  par cette involution est  $Y^{(n)}_{xy}$ , donc elle induit un isomorphisme  $\theta^*: \mathrm{H}^n(M^n,Y^{(n)}_{yx};\mathbb{Q}) \to \mathrm{H}^n(M^n,Y^{(n)}_{xy};\mathbb{Q})$ . Rappelons le couplage entre homologie et cohomologie relatives, qui induit une application linéaire can :  $\mathrm{H}^n(M^n,Y^{(n)}_{xy};\mathbb{Q}) \to \mathrm{H}_n(M^n,Y^{(n)}_{xy})^*_{\mathbb{Q}}$ , où pour A un  $\mathbb{Z}$ -module, on note  $A^*_{\mathbb{Q}}:=\mathrm{Hom}_{\mathbb{Z}}(A,\mathbb{Q})$ . Pour  $f:A\to B$  morphisme de  $\mathbb{Z}$ -modules, on note aussi  $f^*_{\mathbb{Q}}:B^*_{\mathbb{Q}}\to A^*_{\mathbb{Q}}$  le morphisme induit.

**Proposition 3.1.** L'application linéaire  $\beta_{yx}^{(n)}$  (cf. (3.1.1)) est au signe près, la composée du dual  $(\overline{F}_{xy}^{(n)})_{\mathbb{Q}}^*$  de l'application linéaire  $\overline{F}_{xy}^{(n)}$  (cf. théorème 2.3), de can et de  $\theta^*$ . Précisément, on a

$$\beta_{yx}^{(n)} = (-1)^{n+1} (\overline{F}_{xy}^{(n)})_{\mathbb{Q}}^* \circ \operatorname{can} \circ \theta^*.$$

Démonstration. Dans [BGFr], on construit un morphisme de complexes de faisceaux nat  $:_y$   $\tilde{\mathcal{K}}_x\langle n\rangle \to_y \mathcal{K}_x\langle n\rangle$  ((3.282) et cinq lignes avant cette équation) ; si  $y\neq x$ , ce morphisme est l'identité de  ${}_y\mathcal{K}_x\langle n\rangle$  (cf. loc. cit., 6 lignes avant (3.282)). Dans loc. cit., on construit un isomorphisme d'espaces vectoriels  $iso_{\mathrm{BGF}}^{yx}:\mathbb{H}^n(M^n,_y\tilde{\mathcal{K}}_x\langle n\rangle)\to \mathbb{H}^n(M^n,Y_{yx}^{(n)};\mathbb{Q})$  (Lemma 3.281). L'application (3.1.1) est alors donnée par la composition

$$\mathrm{H}^{n}(M^{n},Y_{yx}^{(n)};\mathbb{Q}) \overset{(iso_{\mathrm{BGF}}^{yx})^{-1}}{\longrightarrow} \mathrm{H}^{n}(M^{n},_{y}\tilde{\mathcal{K}}_{x}\langle n\rangle) \to \mathrm{H}^{n}(M^{n},_{y}\mathcal{K}_{x}\langle n\rangle) \overset{\underline{\beta}_{yx}^{(n)}}{\longrightarrow} (\mathbb{Q}\pi_{1}(x,y)/\mathbb{Q}\pi_{1}(x,y)(\mathbb{Q}\pi_{1}(x))_{+}^{n+1})^{*}$$

L'énoncé est alors équivalent à la commutativité du diagramme suivant

laquelle est équivalente à l'énoncé suivant :

$$(3.2.1) \qquad \forall c \in \mathrm{H}^{n}(M^{n}, Y_{xy}^{(n)}; \mathbb{Q}), \quad \forall a \in \mathbb{Q}\pi_{1}(x, y)/(\mathbb{Q}\pi_{1}(x, y)(\mathbb{Q}\pi_{1}(x))_{+}^{n+1}),$$

$$\langle \underline{\beta}_{yx}^{(n)} \circ \mathrm{nat}^{*} \circ (iso_{\mathrm{BGF}}^{yx})^{-1} \circ (\theta^{*})^{-1}(c), a \rangle = (-1)^{n+1} \langle c, \overline{F}_{xy}^{(n)}(a) \rangle_{hom},$$

où  $\langle -, - \rangle$  est le couplage  $V^* \times V \to \mathbb{Q}$  associé à un  $\mathbb{Q}$ -espace vectoriel V et  $\langle -, - \rangle_{hom}$  est le couplage naturel  $H^n(X, Y; \mathbb{Q}) \times H_n(X, Y) \to \mathbb{Q}$ , que par linéarité il suffit de vérifier pour  $a = [\gamma]$ , où  $\gamma \in \pi_1(x, y)$ .

Rappelons quelques constructions de [BGFr]. Soit  $\tilde{\mathbf{C}} := ((\tilde{C}^{p,q})_{p,q\geqslant 0}, d', d'')$  le bicomplexe tel que  $\tilde{C}^{p,q} := \bigoplus_{I \subset [\![1,n]\!] ||I| = n-p} C^q(X^I)$ , où  $C^q(X) := \operatorname{Hom}_{\mathbb{Q}}(C_q(X), \mathbb{Q})$ , où d'' est la somme sur I,q des opérateurs de cobord  $C^q(X^I) \to C^{q+1}(X^I)$  et où d'' est la somme sur les couples (I,J) avec  $I \supset J$  et |I-J| = 1 des applications  $\epsilon(I,J)\delta_{I,J}^* : C^q(X^I) \to C^q(X^J)$ , où  $\delta_{I,J} : X^J \to X^I$  est le morphisme donné par [BGFr], formule après (3.287) et  $\epsilon(I,J) \in \{\pm 1\}$  est donné par [BGFr], formule avant (3.278). Soit  $\mathbf{C} := ((C^{p,q})_{p,q\geqslant 0}, d', d'')$  le bicomplexe quotient de  $\tilde{\mathbf{C}}$  donné par  $C^{p,q} = \tilde{C}^{p,q}$  si q < n,  $C^{p,n} = 0$  pour tout  $p \geqslant 0$ .

D'après [BGFr], Lemma 3.289, on a un isomorphisme  $H^{\bullet}(\text{Tot}(\mathbf{C})) \simeq \mathbb{H}^n(M^n, \chi_x\langle n\rangle)$ . On montre que cet isomorphisme s'insère dans carré commutatif dont les morphismes verticaux

sont des isomorphismes

$$(3.2.2) \qquad H^{\bullet}(\operatorname{Tot}\tilde{\mathbf{C}}) \xrightarrow{\operatorname{nat}} H^{\bullet}(\operatorname{Tot}\mathbf{C})$$

$$\tilde{\iota}_{\mathbb{C}} \downarrow \sim \qquad \qquad \downarrow \iota_{\mathbb{C}}$$

$$\mathbb{H}^{n}(M^{n}, y \,\tilde{\mathcal{K}}_{x}\langle n \rangle) \xrightarrow{\operatorname{nat}^{*}} \mathbb{H}^{n}(M^{n}, y \,\mathcal{K}_{x}\langle n \rangle)$$

Alors l'application composée

$$H^{n}(\operatorname{Tot}\mathbf{C}) \stackrel{i_{\mathbf{C}}}{\hookrightarrow} \mathbb{H}^{n}(M^{n}, y \,\mathcal{K}_{x}\langle n \rangle) \stackrel{\beta^{(n)}}{\xrightarrow{y_{x}}} (\mathbb{Q}\pi_{1}(x, y)/\mathbb{Q}\pi_{1}(x, y)(\mathbb{Q}\pi_{1}(x))_{+}^{n+1})^{*}$$

est telle que pour  $\omega = (\omega_I)_{\varnothing \neq I \subset \llbracket 1,n \rrbracket} \in \mathbf{Z}^n(\mathrm{Tot}\mathbf{C})$  avec  $\omega_I \in C^{n-|I|}(X^I)$ , et  $\gamma \in \pi_1(x,y)$ , on a

$$(3.2.3) \qquad \langle \underline{\beta}_{yx}^{(n)} \circ i_{\mathbf{C}}([\omega]), [\gamma] \rangle = \sum_{\varnothing \neq I \subset \llbracket 1, n \rrbracket} (-1)^{(1/2)(|I|-1)(|I|-2) + n|I|} \epsilon(I) \omega_{I}(\tilde{\gamma}^{(I)}),$$

(cf. [BGFr], (3.292)), où  $\epsilon(I)$  est donné par [BGFr], (3.278) et  $\gamma^{(I)} \in \mathbf{Top}(\Delta^{|I|}, M^I) \subset C_{|I|}(M^I)$ donné par  $\Delta^{|I|} \ni (t_1, \dots, t_{|I|}) \mapsto (I \ni i \mapsto \tilde{\gamma}(t_{\kappa(i)})) \in M^I$ , avec  $\kappa$  l'unique bijection croissante  $I \to \llbracket 1, |I| \rrbracket$ 

Pour tout  $i \in [1, n]$  et  $p \ge 0$ , l'application  $\delta^*_{\lceil 1, n \rceil, \lceil 1, n \rceil - \{i\}} : C^p(X^n) \to C^p(X^{\lceil 1, n \rceil - i})$  est une composition  $C^p(X^n) \to C^p(Y_{xy}^{(n)}) \to C^p(X^{[1,n]-\{i\}})$  donc  $\operatorname{Ker}(C^p(X^n) \to C^p(Y_{xy}^{(n)})) \subset$  $\mathrm{Ker}(\oplus_{i \in [\![1,n]\!]}: \delta_{[\![1,n]\!],[\![1,n]\!]-\{i\}}^*: C^p(X^n) \to \oplus_{i \in [\![1,n]\!]} C^p(X^{[\![1,n]\!]-\{i\}})).$ 

On a donc pour chaque  $p\geqslant 0$  une application linéaire  $\tilde{\mu}^p: {\rm Ker}(C^p(X^n)\to C^p(Y^{(n)}_{xy}))\to C^p(Y^{(n)}_{xy})$  $\operatorname{Tot}^p(\tilde{\mathbf{C}})$  donnée par  $\operatorname{Ker}(C^p(X^n) \to C^p(Y^{(n)}_{xy})) \ni c \mapsto ((p,0) \mapsto c,(p,0) \neq (p,'q') \mapsto 0)$ , qui définit un morphisme de complexes

$$(3.2.4) \tilde{\mu}^{\bullet} : \operatorname{Ker}(C^{\bullet}(X^{n}) \to C^{\bullet}(Y_{xy}^{(n)})) \to \operatorname{Tot}^{\bullet}(\tilde{\mathbf{C}}).$$

La cohomologie du complexe source de (3.2.4) est la cohomologie singulière relative  $H^{\bullet}(X^n, Y_{xy}^{(n)}; \mathbb{Q})$ . On déduit du morphisme de complexes (3.2.4) un morphisme en cohomologie

$$\mathrm{H}^{\bullet}(\tilde{\mu}^{\bullet}):\mathrm{H}^{\bullet}(X^{n},Y_{xy}^{(n)};\mathbb{Q})\to\mathrm{H}^{\bullet}(\mathrm{Tot}(\tilde{\mathbf{C}}))$$

dont on vérifie qu'il satisfait

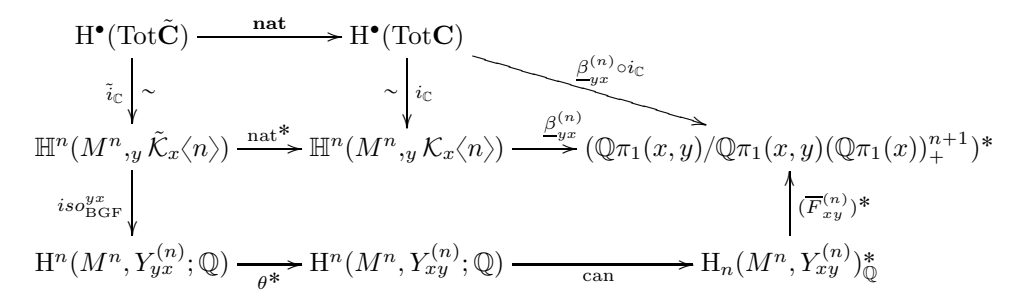
(3.2.5) 
$$\mathbf{H}^{\bullet}(\tilde{\boldsymbol{\mu}}^{\bullet}) = (\tilde{\boldsymbol{i}}_{\mathbf{C}})^{-1} \circ (iso_{\mathrm{BGF}})^{-1} \circ (\boldsymbol{\theta}^{*})^{-1}.$$

Montrons alors (3.2.1). Soit  $\gamma \in \pi_1(x,y)$ ,  $c \in H^n(M^n,Y_{xy}^{(n)};\mathbb{Q})$ . Soit  $\tilde{c} \in Z^n(\operatorname{Ker}(C^{\bullet}(X^n) \to \mathbb{Q}))$  $C^{\bullet}(Y_{xy}^{(n)})$ ) un représentant de c. Alors

$$\begin{split} &\langle\underline{\beta}_{yx}^{(n)}\circ\operatorname{nat}^{*}\circ(iso_{\operatorname{BGF}}^{yx})^{-1}\circ(\theta^{*})^{-1}(c),[\gamma]\rangle = \langle\underline{\beta}_{yx}^{(n)}\circ i_{\mathbf{C}}\circ\operatorname{nat}\circ\tilde{i}_{\mathbf{C}}^{-1}\circ(iso_{\operatorname{BGF}}^{yx})^{-1}\circ(\theta^{*})^{-1}(c),[\gamma]\rangle \\ &=\langle\underline{\beta}_{yx}^{(n)}\circ i_{\mathbf{C}}\circ\operatorname{nat}\circ\operatorname{H}^{n}(\tilde{\mu}^{\bullet})(c),[\gamma]\rangle = \langle\underline{\beta}_{yx}^{(n)}\circ i_{\mathbf{C}}\circ\operatorname{nat}\circ[\tilde{\mu}^{n}(\tilde{c})],[\gamma]\rangle = \langle\underline{\beta}_{yx}^{(n)}\circ i_{\mathbf{C}}\circ[\mu^{n}(\tilde{c})],[\gamma]\rangle \\ &= (-1)^{(n-1)(n-2)/2+n^{2}+n(n+1)/2}\tilde{c}(\tilde{\gamma}^{(n)}) = (-1)^{n+1}\langle c,\overline{F}_{xy}^{(n)}([\gamma])\rangle_{hom} \end{split}$$

où  $\mu^n$  est la composée de  $\tilde{\mu}^n$  et de la projection  $\tilde{\mathbf{C}}^n \to \mathbf{C}^n$ ; la première égalité suit de la commutativité de (3.2.2), la deuxième égalité suite de (3.2.5), la troisième égalité suit de la définition de  $H^n(\tilde{\mu}^{\bullet})$ , la quatrième égalité suit de ce que **nat** est la version cohomologique de la projection  $\tilde{\mathbf{C}}^n \to \mathbf{C}^n$ , la cinquième égalité suit de l'égalité (3.2.3), dans laquelle seule la contribution de  $I = [\![1, n]\!]$  est non-triviale, la dernière égalité suit de (2.1.1).

La démonstration de la proposition 3.1 est illustrée par le diagramme suivant



# 4. Construction de transformations naturelles

On note  $\mathbf{Top}_2$  la catégorie des espaces topologiques munis d'un couple de points marqués (i.e. d'un couple de morphismes de source l'objet initial \*). Pour (X, a, b) un objet de  $\mathbf{Top}_2$ , le couple  $(\pi_1(a, b), \pi_1(a))$  est un torseur à droite, à savoir un couple (T, G) avec T un ensemble et G un groupe, munis d'une action à droite libre et transtive de G sur T. La correspondance  $(X, a, b) \mapsto (\pi_1(a, b), \pi_1(a))$  définit un foncteur  $\mathbf{Top}_2 \to \mathbf{TorDt}$  avec  $\mathbf{TorDt}$  la catégorie des torseurs à droite.

**Définition 4.1.** Pour (X, x, y) un objet de  $\mathbf{Top}_2$ , on note  $\mathbb{Z}\pi_1(X, x, y)$  le  $\mathbb{Z}$ -module libre sur  $\pi_1(X, x, y)$ .

**Lemme 4.2.** L'application  $(X, a, b) \mapsto \mathbf{F}_n(X, a, b)$  définit un foncteur covariant de  $\mathbf{Top}_2$  vers la catégorie  $\mathbf{Ab}$  des groupes abéliens.

Démonstration. Il s'agit de la composition du foncteur  $\mathbf{Top}_2 \to \mathbf{TorDt}$  envoyant (X, a, b) vers  $(\pi_1(a, b), \pi_1(a))$  et du foncteur  $\mathbf{TorDt} \to \mathbf{Ab}$  envoyant (T, G) vers  $\mathbb{Z}T/(\mathbb{Z}T)(\mathbb{Z}G)^{n+1}_+$ .

**Définition 4.3.** Pour  $\underline{X}=(X,a,b)$  un objet de  $\mathbf{Top}_2$ , on note  $Y_{\underline{X}}(n):=Y_{ab}^{(n)}$  (cf. (0.0.2)).

**Lemme 4.4.** L'application  $(X, a, b) \mapsto (X^n, Y_{\underline{X}}(n))$  est un foncteur covariant  $\mathbf{Top}_2 \to \mathbf{Paires}$ .

Démonstration. On vérifie que si  $\underline{X} = (X, a, b)$  et  $\underline{X}' = (X', a', b')$  sont des objets de  $\mathbf{Top}_2$  et si  $f: X \to X'$  est un morphisme dans  $\mathbf{Top}$  tel que f(a) = a' et f(b) = b', alors  $f(Y_{\underline{X}}(n)) \subset Y_{\underline{X}'}(n)$ .

**Lemme-Définition 4.5.** Pour  $\underline{X} \in \mathbf{Top}_2$ , on définit  $\mathbf{H}_n(\underline{X}) := \mathbf{H}_n(X^n, Y_{\underline{X}}(n))$ . L'application  $\underline{X} \mapsto \mathbf{H}_n(\underline{X})$  définit un foncteur covariant  $\mathbf{H}_n : \mathbf{Top}_2 \to \mathbf{Paires}$ .

Démonstration. Provient de l'identification de  $\mathbf{H}_n$  avec la composition du foncteur  $(X, a, b) \mapsto (X^n, Y_X(n))$  avec le foncteur homologie relative.

Un corollaire du théorème 2.3 est:

**Théorème 4.6.** Pour  $n \ge 0$  et  $\underline{X}$  un objet de  $\mathbf{Top}_2$ , le morphisme de groupes  $\mathbb{Z}\pi_1(a,b) \to \mathbf{H}_n(\underline{X}), \ \gamma \mapsto [\tilde{\gamma}^n]$  induit un morphisme de groupes  $\nu_{\underline{X}}^{(n)} : \mathbf{F}_n(\underline{X}) \to \mathbf{H}_n(\underline{X})$ . La correspondance  $\underline{X} \mapsto \nu_{\underline{X}}^{(n)}$  est une transformation naturelle de  $\mathbf{F}_n$  vers  $\mathbf{H}_n$ .

Remerciements. Le travail de B.E. a bénéficié du soutien du projet ANR "Project HighAGT ANR20-CE40-0016".

#### **BIBLIOGRAPHIE**

- [BGFr] J. Burgos Gil, J. Fresan, Multiple zeta values: from numbers to motives, preprint http://javier.fresan.perso.math.cnrs.fr/mzv.pdf, à paraître dans Clay Mathematics Proceedings.
- [DG] P. Deligne, A. Goncharov, Groupes fondamentaux motiviques de Tate mixte. Ann. Sci. École Norm. Sup. (4) 38 (2005), no. 1, 1–56.
- [GrH] M. Greenberg, J. Harper, Algebraic topology. A first course, Mathematics Lecture Note Series, 58. Benjamin/Cummings Publishing Co., Inc., Advanced Book Program, Reading, Mass., 1981.
- [Ha] A. Hatcher, Algebraic topology. New York, Cambridge University Press, 2001.

INSTITUT DE RECHERCHE MATHÉMATIQUE AVANCÉE, UMR 7501, UNIVERSITÉ DE STRASBOURG ET CNRS, 7 RUE RENÉ DESCARTES, 67000 STRASBOURG, FRANCE

Email address: enriquez@math.unistra.fr Email address: lecomte@math.unistra.fr